

الجمهورية الجزائرية الديمقراطية الشعبية
REPUBLIQUE ALGERIENNE DEMOCRATIQUE ET POPULAIRE

39/84

وزارة التعليم والبحث العلمي
MINISTERE DE L'ENSEIGNEMENT ET DE LA RECHERCHE SCIENTIFIQUE

3/84

ECOLE NATIONALE POLYTECHNIQUE

DEPARTEMENT : ELECTRONIQUE

PROJET DE FIN D'ETUDES

SUJET

Programmeur de Température
Autonome à base d'un
Microprocesseur pour les Recherches
sur les Dielectriques

Proposé par :
M. J.F. ALABERT

Etudié par :
K. MAAMIR
B. BELKACEMI

Dirigé par :
M. T. SLUSZKI WICZ



PROMOTION : JUIN 1984



Remerciements.

Nous remercions vivement Monsieur SLUSZKIEWICZ pour son aide et ses conseils judicieux tout au long de l'élaboration de ce travail.

Nous plus vifs remerciements à Monsieur BOUDRAA pour son précieux concours et ses remarques judicieuses.

Nous ne manquerons pas d'exprimer aussi toute notre gratitude et notre reconnaissance à tous les professeurs de l'école polytechnique qui ont contribué à notre formation.

Nous tenons à remercier les responsables de l'institut de physique à l'USTHB pour nous avoir permis l'accès à leur laboratoire.

- Dédicaces -

A

La mémoire de mes parents
Et à toute ma famille
Et mes amis

- B. Belkacemi -

A

Mes parents
Mes frères et sœurs
Mes amis

- K. Maâmir -

Table des matières

Chapitres	Pages
I/INTRODUCTION	1
1.a. But de l'étude des échantillons diélectriques...	4
1.b. Description d'une expérience menée sur les diélectriques.....	4
1.c. Cahier de charge.....	8
II/MODULE M.P.U	
2.a. Microprocesseur utilisé.....	9
2.b. Circuits d'interfaces.....	11
III/UNITES D'INTERFACES	
3.1.a. Introduction.....	16
3.1.b. Clavier.....	16
3.1.c. Affichage des valeurs introduites par clavier.....	21
3.2. Interface entre le micro système et le système de régulation.....	25
IV/PROGRAMMATION	
4.a. Programmation des P.I.A.....	32
4.b. Elaboration des calculs.....	35
4.c. Programmation.....	43
V/CARTE MEMOIRE	
5.a. Introduction.....	57
5.b. Décodage des mémoires.....	58
5.c. Alimentations stabilisées.....	64

VII/PRESENTATION DU SYSTEME

6.a. Notice d'utilisation du programmeur..... 67

6.b. Boitier..... 68

VIII/AMELIORATION DU REGULATEUR

7.a. But de l'amélioration..... 70

7.b. calcul des éléments..... 70

CONCLUSION 73

ANNEXES

TABLES DES FIGURES ET TABLEAUX

BIBLIOGRAPHIE

CHAPITRE 1

INTRODUCTION

I. INTRODUCTION :

Dans le cadre de la recherche effectuée sur les diélectriques à l'institut de physique à l'USTHB, la régulation et la stabilisation de la température, lors de l'étude des caractéristiques de chaque échantillon diélectrique sont importantes. Ainsi, celle-ci doit varier en fonction du temps et selon l'allure de la figure 1.2.

L'utilisation d'une consigne manuelle nécessite une grande attention de la part de l'utilisateur et engendre des erreurs et lui prend beaucoup de temps.

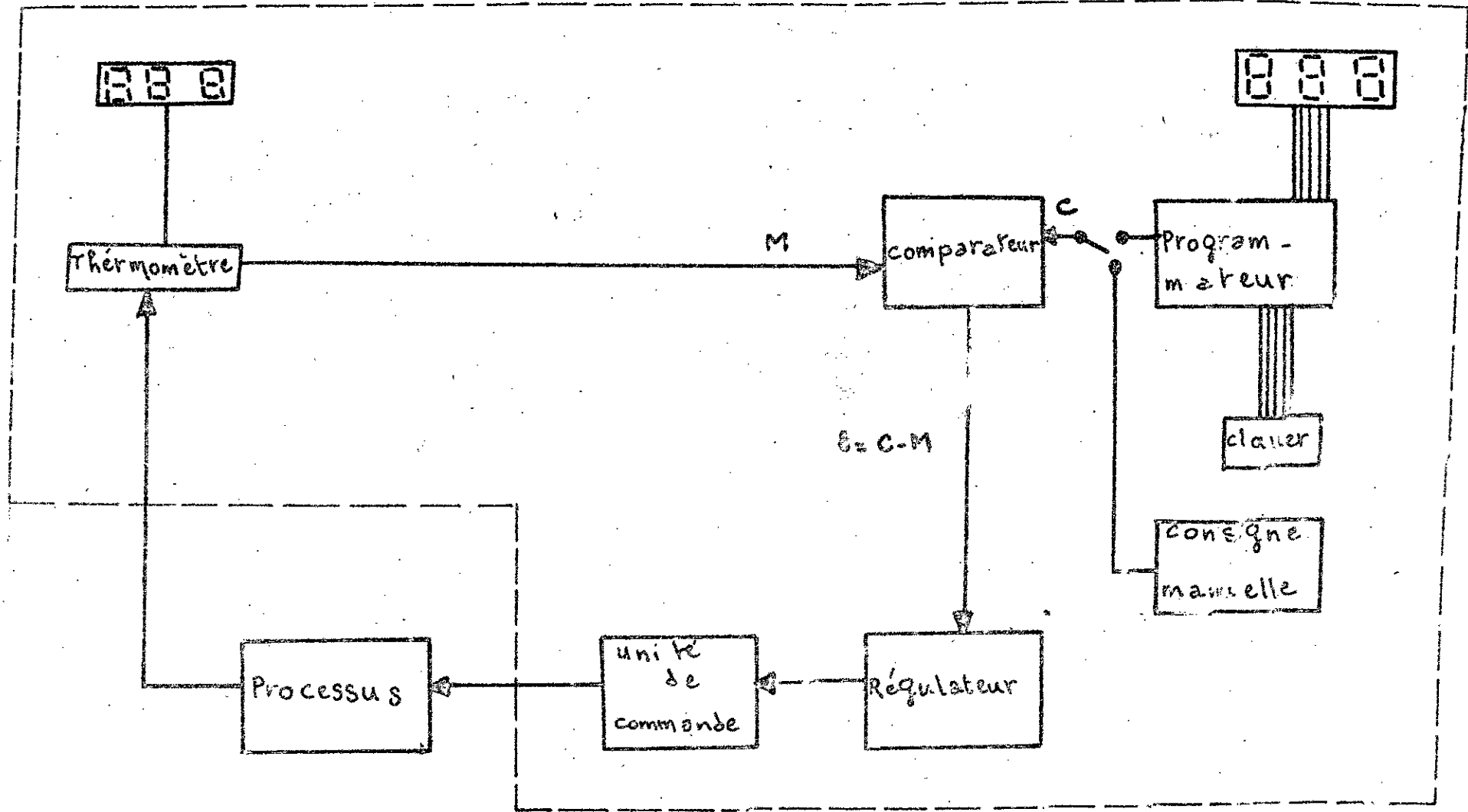
Le contrôle du processus par micro-système est une solution intéressante vu les performances de l'automatisation qu'elle réalise. Le synoptique fig 1.1 nous résume cette solution. Le signal correspondant à la température mesurée par le thermomètre et celui généré par le programmeur correspondant à la température de consigne arrivent sur un comparateur qui effectue leur différence $E = C - M$. Et icert doit être le plus faible possible.

La partie régulation a été étudiée et réalisée par deux étudiants de la promotion de janvier 1984, mais il s'est avéré que ces étudiants ont trouvé un problème qui est dû au décalage du régulateur et ils ont proposé une solution qui consiste à effectuer la remise à zéro après environ 2 heures d'utilisation à l'aide du circuit de compensation ce qui nécessite une surveillance continue

desagréable pour l'utilisateur et de même par manque d'attention cela pourrait engendrer des erreurs de décalage de nouveau. Pour remédier à cela, nous avons divisé les 2 actions du régulateur PI, et la grandeur sera relevée à la sortie d'un sommateur.

La partie concernant l'interface qui sert pour la programmation a l'aide de l'appel II plus a été étudié et réalisé par une étudiante de la promotion de juin 1983. L'interface qui elle a réalisé nécessite un microordinateur qui serait peut être utile pour d'autres fonctions plus complexes. En plus du point de vue logiciel, le programme de simulation a été conçu en langage basic ce qui limite quelque peu les performances dynamiques.

Notre projet de Fin d'Etudes consiste à étudier un programmeur autonome à base d'un microprocesseur assurant cette fonction; car la simulation de la variation de température par programme donne des résultats précis sur les échantillons via les avantages que procurent les microsystèmes (souplesse, puissance etc...)



M: Température lue par le thermomètre
 C: Température consigne.

fig 1.4

Le système de régulation

1.0. But de l'étude des échantillons diélectriques :

Un diélectrique possède les propriétés d'un isolant électrique polarisable en présence d'un champ électrique.

Le but de l'étude d'un échantillon est de :

1. Séparer les groupements de charges qui composent l'échantillon en fonction de la température.

2. Déterminer ainsi l'énergie dissipée dans le matériau.

B. Description d'une expérience menée

SUR Les diélectriques : 151

On applique un champ électrique, à la température T_P dite de polarisation et pendant un temps P_H , à un échantillon diélectrique afin d'orienter ses dipôles dans la même direction que \vec{E} . On refroidit ensuite l'échantillon jusqu'à la congélation de la position des dipôles à une température $T_0 = -160^\circ\text{C}$. On bloque ainsi toute possibilité de désorientation immédiate des dipôles lors de la suppression du champ. On maintient la température T_0 pendant un intervalle de temps P_B . On fait ensuite croître linéairement la température de l'échantillon en court-circuit sur un électromètre. Dans la plupart des cas un même groupement de charge peut avoir plusieurs temps de relaxation. Pour étudier cela, on fait appel à des techniques de décomposition de spectres complexes en une série de pics élémentaires à un seul temps de relaxation. (voir figure 1.3)

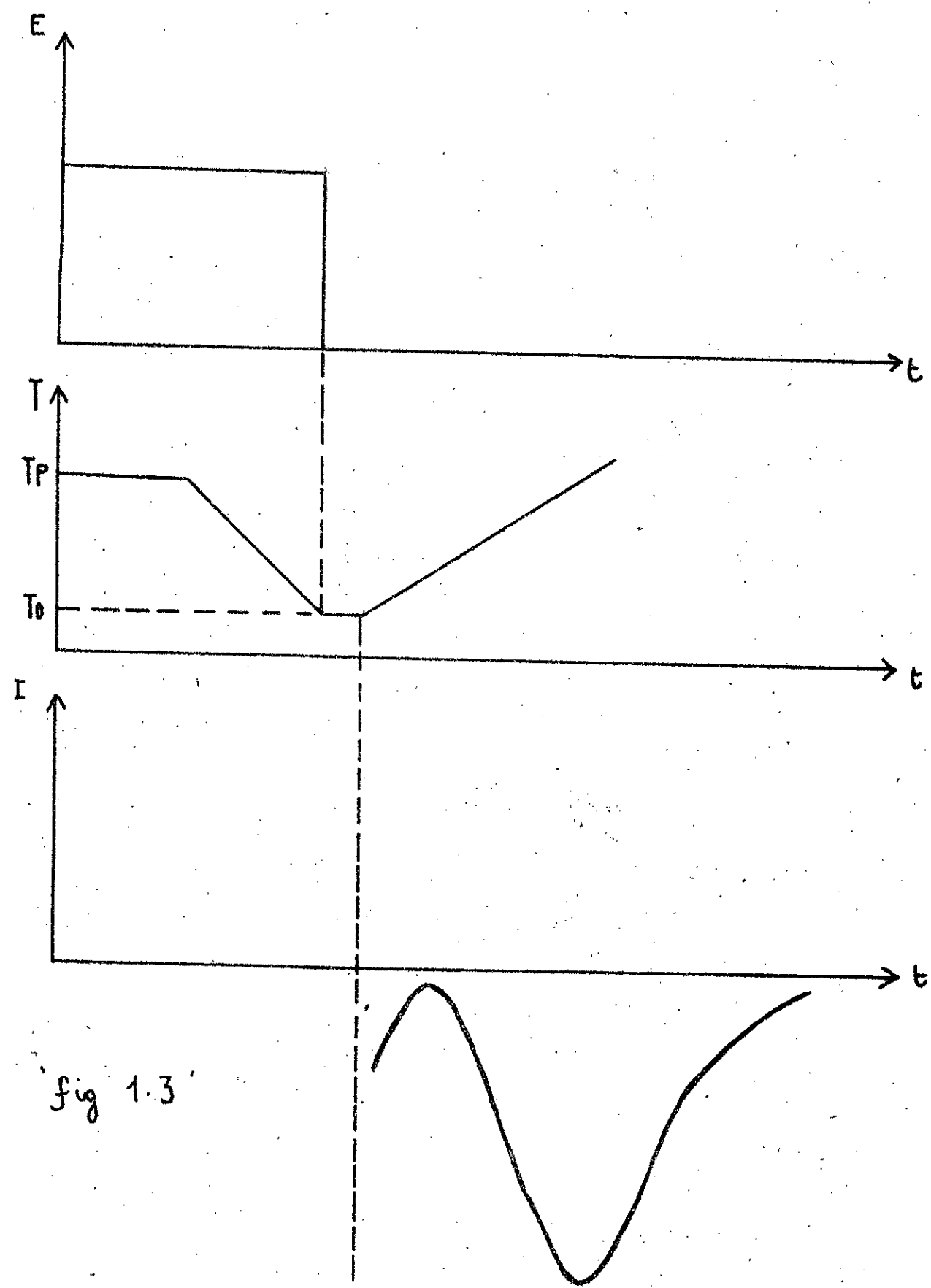


fig 1.3

Spectre global

Soit un pic du spectre global (les variations du courant I de déploration en fonction de la température) situé à la température T_M . On considère la zone de température :

$(T_M - \Delta T ; T_M + \Delta T)$ située autour de la température T_M du pic. On soumet à nouveau l'échantillon à un champ électrique à la température $T = T_M - \Delta T + 10$, on maintient constante cette température durant l'intervalle de temps PH afin d'orienter les unités qui ont un temps de relaxation inférieur à $T_M (T_M - \Delta T + 10)$. Ensuite la température est abaissée jusqu'à $(T_M - \Delta T)$ et le champ électrique est annulé. Cette température $T_M - \Delta T$ est maintenue constante pendant le temps PH ; ce qui permet le retour à l'équilibre des unités dont le temps de relaxation τ est inférieur à $T_M (T_M - \Delta T)$. De ce fait seuls les dipôles dont le temps de relaxation est compris entre $T_M (T_M - \Delta T + 10)$ et $T_M (T_M - \Delta T)$ seront affectés par le champ.

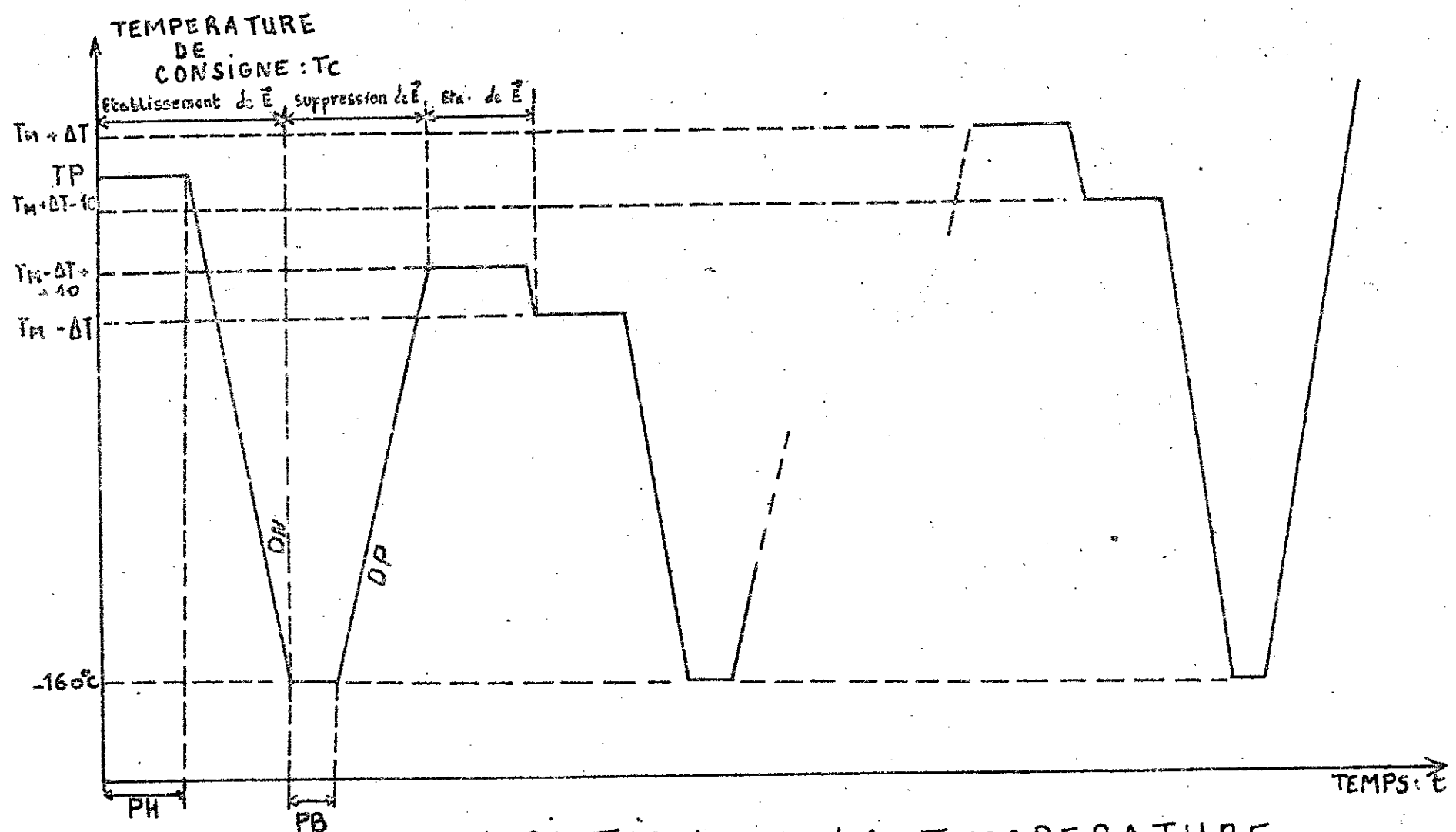
Par la suite on 'gèle' cette polarisation en refroidissant le système jusqu'à la température $T_0 = -160^\circ\text{C}$.

L'échantillon est alors court-circuité sur l'électromètre et une remontée linéaire en température permet l'enregistrement du pic élémentaire relatif à la tranche de température $(T_M - \Delta T ; T_M - \Delta T + 10)$.

Un travail analogue est effectué pour les bandes de température suivantes : $(T_M - \Delta T + 10 ; T_M - \Delta T + 20)$;

$(T_M - \Delta T + 20 ; T_M - \Delta T + 30)$... $(T_M - \Delta T - 10 ; T_M + \Delta T)$.

et à chaque bande de température on enregistre le pic élémentaire. (voir figure 1.2).



VARIATION DE LA TEMPERATURE DE L'ECHANTILLON 'fig 1.2'

1.C.Cahier de charge:

La température à laquelle est soumis l'échantillon doit varier suivant l'allure "figure 1.2."

- La température de consigne doit pouvoir varier dans une plage de -160°C à $+160^{\circ}\text{C}$, avec un pas de 1°C .
- La durée des paliers PH varie entre 1 min et 4 min avec un pas de 1 min.
- La durée des paliers PB varie entre 1 et 5 min avec un pas de 1 min.
- Les pentes des droites décroissantes DN varient entre $-50^{\circ}\text{C}/\text{min}$ et $-10^{\circ}\text{C}/\text{min}$ avec un pas de $10^{\circ}\text{C}/\text{min}$.
- Les pentes des droites croissantes DP varient entre $2^{\circ}\text{C}/\text{min}$ et $8^{\circ}\text{C}/\text{min}$ avec 1 pas de $1^{\circ}\text{C}/\text{min}$.
- Utilisation d'un capteur de mesure de sensibilité de $10\text{ mV}/^{\circ}\text{C}$.
- Le système se présentera sous la forme d'un boîtier standard de Norme RACK 19 pouce.

Le programmeur, dans sa conception, doit pouvoir :

- Simuler les variations de la courbe de la température de consigne par programme.
- Transmettre les différentes températures de consigne au comparateur sous forme de tension analogiques grâce à une interface numérique analogique entre le microsysteme et le comparateur. Pour pouvoir aborder la simulation de la courbe de température de l'échantillon en fonction du temps ainsi que l'étude de l'interface qui assure la fonction de programmeur, la connaissance des différents module du microsysteme est utile.

CHAPITRE 2

MODULE MPU

2.a. Microprocesseur utilisé:

Le 6800 est un microprocesseur N. MOS fabriqué par Motorola. Il est actuellement le microprocesseur le plus largement utilisé. C'est un modèle de simplicité à la fois au niveau hardware et software. Il a une taille de mots de 8 bits, peut adresser plus de 65536 mots en mémoire et a 72 instructions. Il opère avec une fréquence de 1 MHz. Il nécessite une alimentation unique en tension +5V et des entrées d'horloge à 2 phases Φ_1 , Φ_2 . Motorola a développé une famille complète de boîtiers LSI utilisés comme interface entre le 6800 et une variété d'unités d'E/S. C'est probablement la raison principale de la popularité actuelle du 6800.

Notre réalisation est basée autour du MC 6800, vu les performances décrites ci-dessus, mais la même réalisation aurait pu être faite avec d'autres microprocesseurs.

Pour plus de détails sur le MC 6800, voir Annexe 1. Notre microsystème est constitué de plusieurs blocs (voir fig 2.1). Le MPU est relié au monde extérieur par des circuits d'entrées sorties.

Pour constituer l'unité centrale du microsystème, on adjoint au MPU, ou (Unité centrale de traitement) une mémoire EPROM pour le programme, une RAM pour les données, une horloge et une alimentation, ainsi que des circuits d'interface qui le relient à l'extérieur.

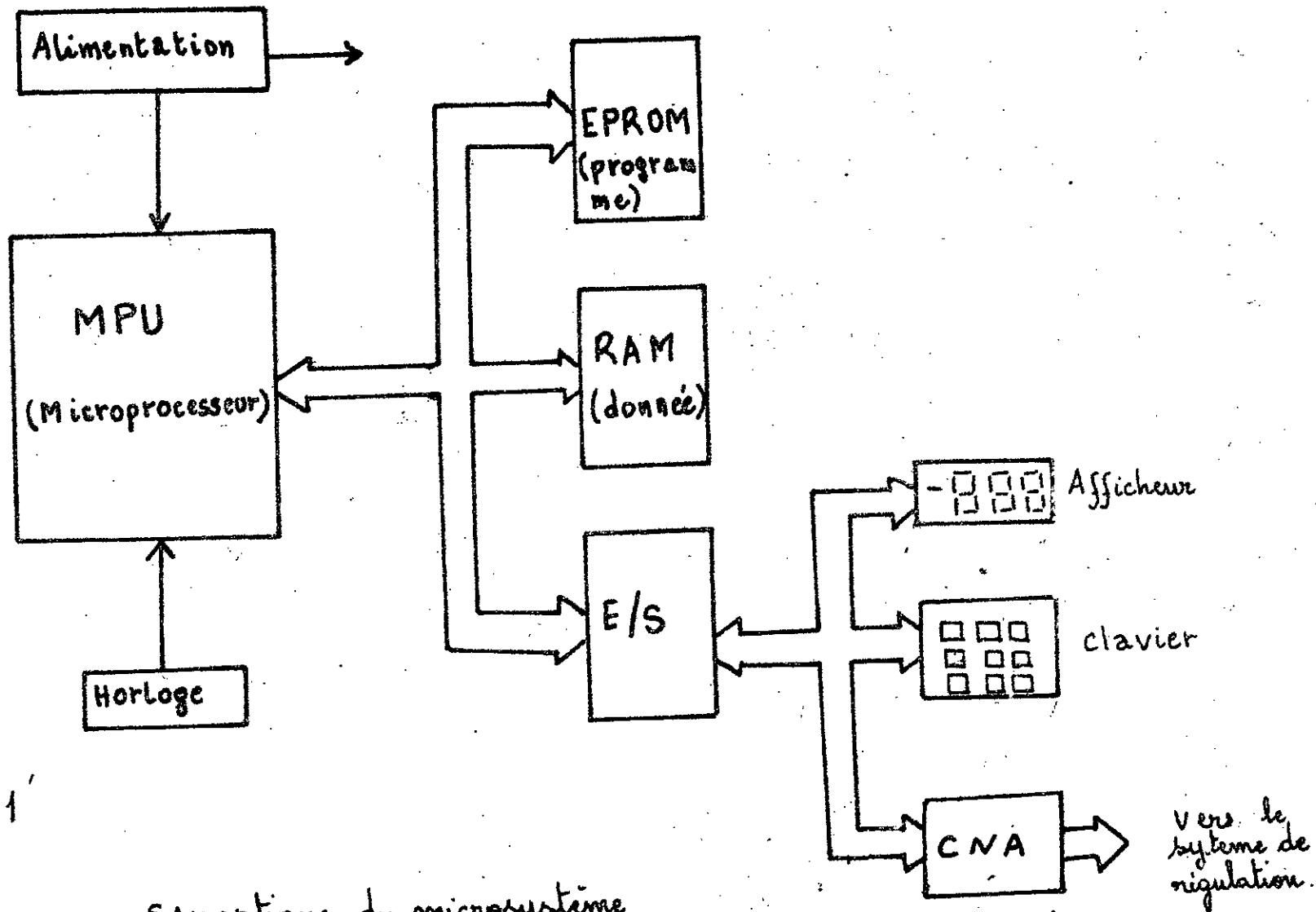


fig 2.1

Synoptique du microsysteme

2.5. Circuits d'Interfaces: 121

1. Les circuits d'Interface des bus de données et d'adresses :
Leur rôle principale est l'amplification et la protection.

a. Circuits d'interface du bus de données :

Il est constitué par 2 circuits MC 8T26 qui servent à la protection du microprocesseur et permettent d'adapter le bus avec le reste du système.

Sur le bus du système, les données sont en logique négative pour limiter la consommation. Donc il faudra inverser les données à la sortie ou à l'entrée des chips.

Comme le bus de données est relativement long et les chips même à l'état haute impédance, représentent un courant de fuite, il faudra donc amplifier le bus des données.

Les lignes de données, étant au nombre de 8, deux circuits 8T26 sont donc nécessaires.

Le 8T26 doit être commandé de façon à être :

- Passant dans le sens Interface - MPU
- Passant dans le sens MPU - Interface.
- Ou à l'état haute impédance.

b. Circuits d'Interface du bus d'adresses :

Il est constitué par 3 circuits du type MC 8T95 réalisant l'adaptation des lignes d'adresses du microprocesseur avec le bus d'adresses.

2. Logique de commande et de contrôle :

Le circuit logique détermine le sens de transferts de données suivant qu'il reçoit un ordre de lecture ou d'écriture.

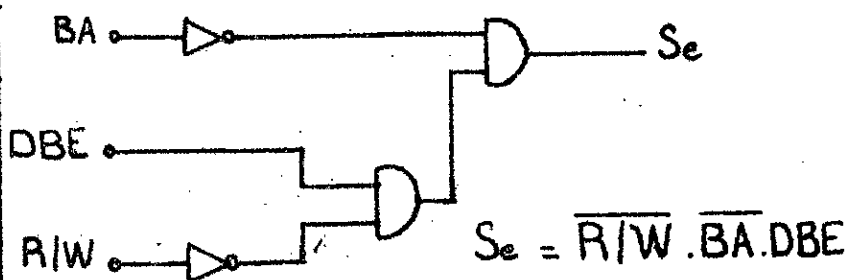
a. Opération d'écriture :

Elle n'a lieu que si :

- La ligne de commande R/W est à "0".
- Le bus de données du microprocesseur doit être activé afin de permettre le transfert de données : DBE à "1".
- Le bus d'adresse doit être disponible afin de pouvoir adresser le mot à écrire : BA à "0".

Le signal résultant noté S_e sera le signal de commande de l'opération d'écriture. $S_e = \overline{R/W} \cdot \overline{BA} \cdot DBE$

R/W	BA	DBE	S_e
0	0	0	0
0	0	1	1
0	1	0	0
0	1	1	0
1	0	0	0
1	0	1	0
1	1	0	0
1	1	1	0

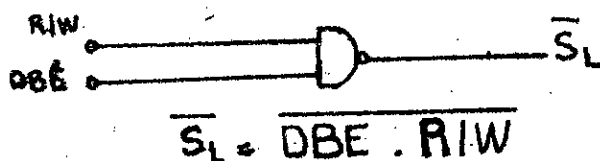


b. Opération lecture :

Elle n'a lieu que si :

- La ligne de commande R/W est à "0".
- La présence du signal Φ_2 (TTL) est indispensable car des éléments à lire ne sont activés que pendant ce temps ((DBE) est l'équivalent de Φ_2 (TTL)). Le signal résultant noté S_L sera le signal de commande de l'opération lecture.

R/W	Φ_2	S_L
0	0	0
0	1	0
1	0	0
1	1	1

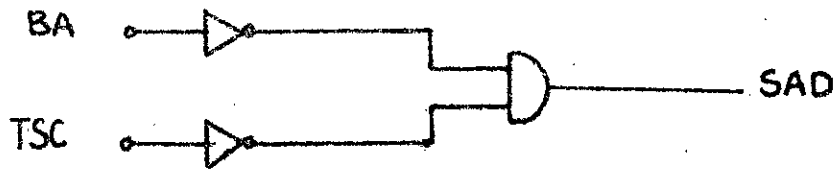


Dans le cas des MC 8726, le signal d'activation doit être au niveau bas. De ce fait ils seront attaqués par $\overline{S_L}$.

3. Circuit de commande de l'interface du bus d'adresses :

Le signal de commande, dans ce cas, sera une combinaison entre le signal TSC et le signal BA, il sera noté SAD

TSC	BA	SAD
0	0	1
0	1	0
1	0	0
1	1	0



$$SAD = \overline{TSC} \cdot \overline{BA}$$

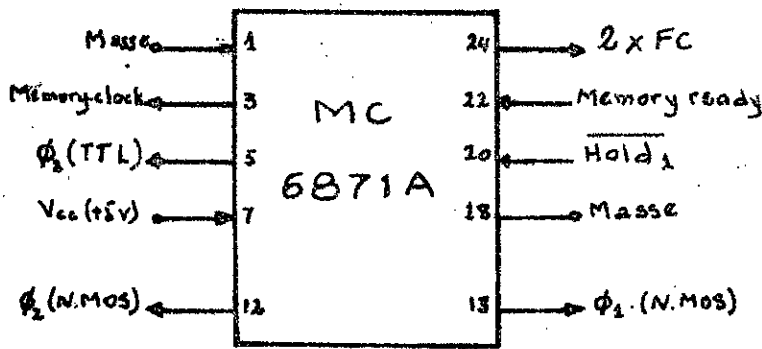
Dans notre système, nous n'utilisons pas l'accès direct à la mémoire. De ce fait nous avons mis la ligne TSC à la masse

On a donc ainsi $\overline{SAD} = BA$

4. Circuit d'horloge : (voir fig 2.1)

L'horloge utilisée est la MC 6871 A de MOTOROLA, En plus des signaux nécessaires au fonctionnement du micro-processeur, soit ϕ_1 (NMOS) et ϕ_2 (NMOS) elle génère aussi :

- Signal requis par les éléments de support et par la logique de commande inhérente soit ϕ_2 (TTL).
- Signaux de synchronisation dans le cas des mémoires lentes ou de mémoires dynamiques nécessitant un cycle de rafraichissement.
- $2F_c$: qui est deux fois la fréquence d'horloge.
- Memory-Ready : cette commande prolonge l'état haut de ϕ_2 ou l'état bas de ϕ_1 .
- Memory-clock : Signal de sélection mémoire.
- Hold : Le signal prolonge l'étendue de l'état haut de ϕ_1 .



"1" logique = +40µA
 "0" logique = -1,6mA
 FC = 1 ± 0,01 MHz
 -0,2V ≤ Memory Ready ≤ +0,4V
 -0,2V ≤ Hold 1 ≤ +0,4V

circuit d'horloge

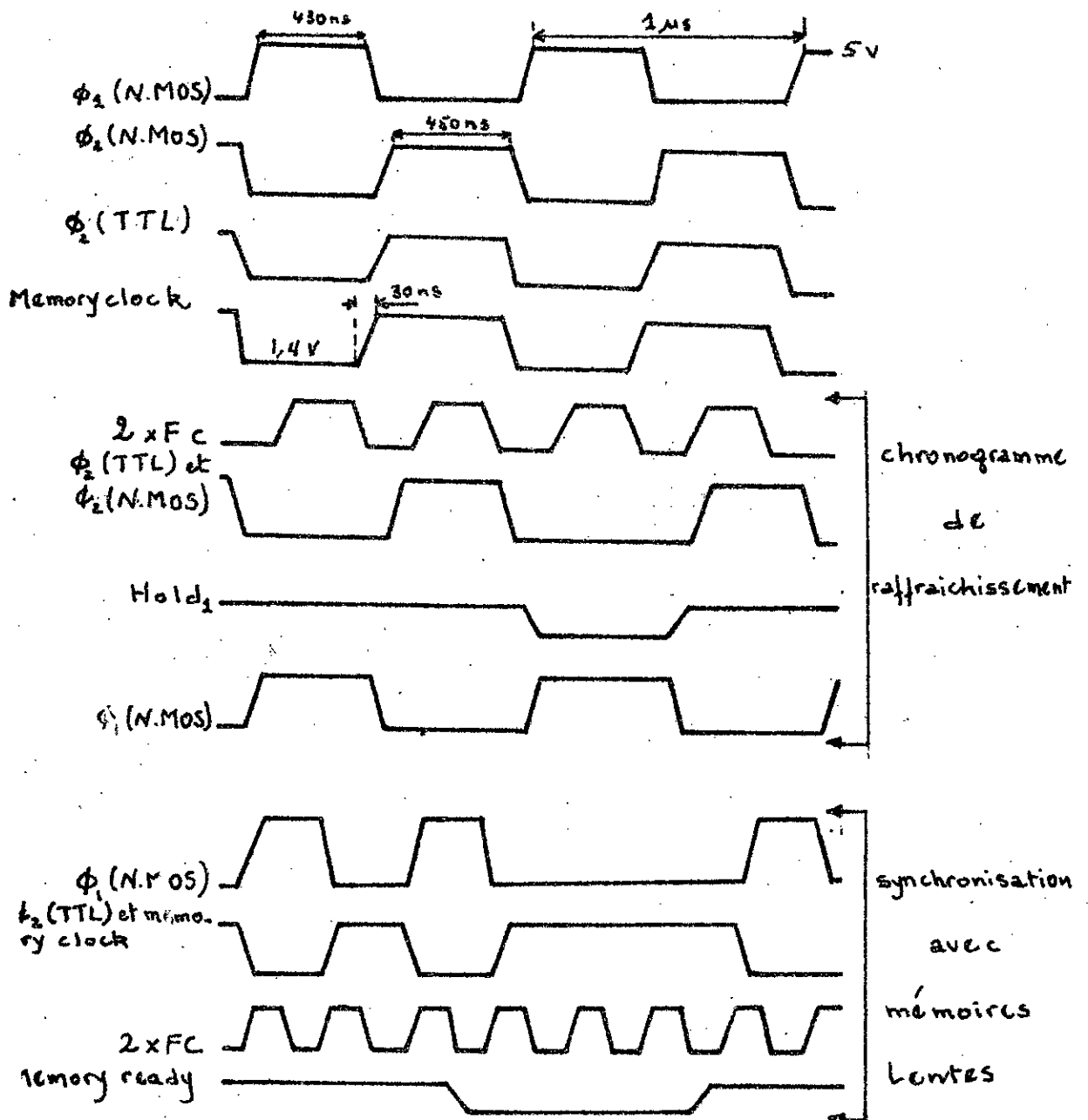
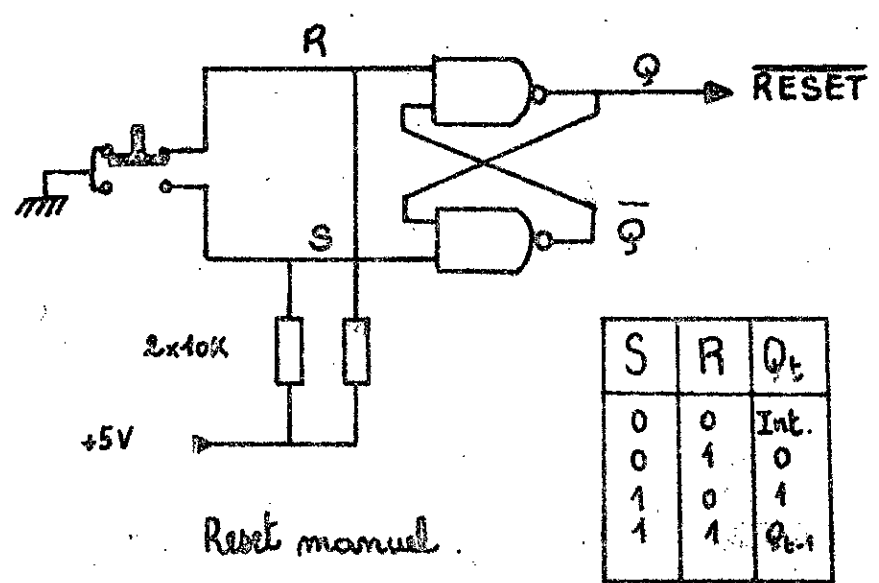


fig 2.9
chronogrammes

5. Circuits de reinitialisation :

C'est un générateur d'impulsion. Il est formé d'une bascule RS anti-rebonds. Elle fournit un signal "propre" ne transmettant pas les rebonds du poussoir. Ce dernier mis à la disposition de l'opérateur, lui permet de faire démarrer ou reinitialiser le système, chaque fois qu'on le jugera nécessaire, en particulier quand on voudra changer la valeur des constantes introduites par clavier.



S	R	Q _t
0	0	Int.
0	1	0
1	0	1
1	1	Q _{t-1}

Q_t: état présent
 Q_{t-1}: état précédent

Table de vérité de la bascule R-S.

CHAPITRE

3

UNITES

D'INTERFACES

3.1-A - Introduction:

Un microprocesseur ne peut commander directement un périphérique. Une carte interface composée généralement de plusieurs circuits intégrés est nécessaire entre le microprocesseur et le périphérique. Cette interface aura pour rôle d'établir une compatibilité entre les lignes entrées - sorties du microprocesseur et celle du périphérique. Dans le cadre de notre travail, nous utilisons le circuit d'interface MC 6821 ou PIA. (Voir Annexe 2)

3.1-B Clavier: 121

Il y a plusieurs moyens d'entrer facilement le programme et les données. L'utilisation d'un clavier est une des techniques les plus répandues en micro-informatique.

Dans notre cas nous allons l'utiliser afin d'introduire les valeurs de température des paliers et les vitesses de montée et de descente choisies par l'utilisateur. Pour cela, nous avons adopté un clavier de 14 touches, dont 10 touches sont pour les chiffres de 0 à 9 et les 4 touches restantes sont des touches de commande qui indiquent la fonction à réaliser.

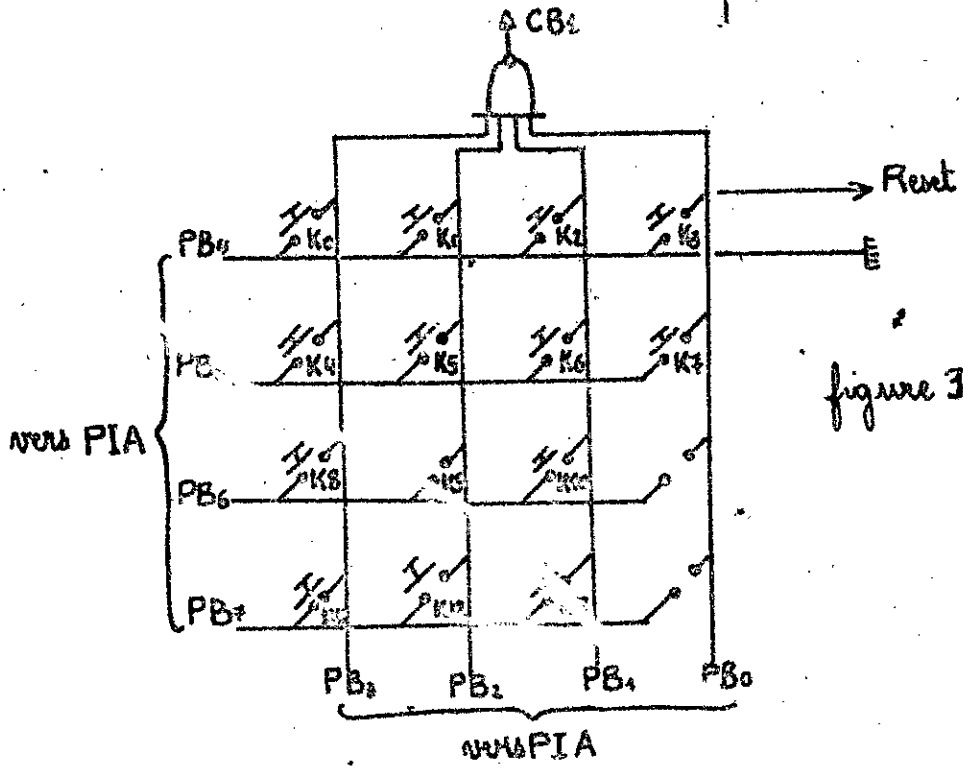
GO	+	-	Reset
6	7	8	9
3	4	5	
0	1	2	

Il y a de nombreuses méthodes variées permettant l'interfaçage d'un tel clavier avec un microprocesseur. Nous avons choisi une technique qui demande un programme appelé moniteur chargé en mémoire morte qui contrôle toutes les opérations du clavier.

3.1.b.1. Touches de Commande :

- Touche Reset : Elle réinitialise le microprocesseur et celle-ci démarre l'exécution du moniteur du clavier chargé en mémoire morte. Cela signifie que le moniteur doit être chargé à l'adresse correspondant à celle que le microprocesseur prend par activation de l'entrée Reset.
- Touche GO : Dans ce cas le moniteur exécute un saut incondi... à l'adresse déterminée par programme afin de débiter l'exécution du programme de traitement.
- Touches (-) et (+) : Sont des touches de signe.

3.1.b.2. Schéma de Principe :

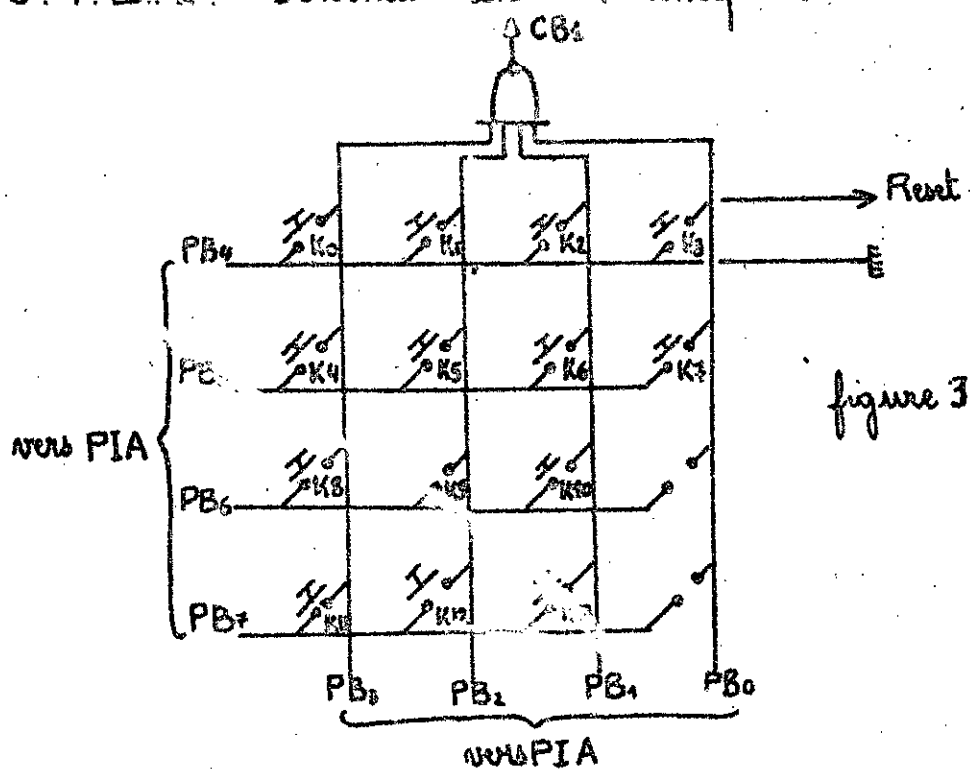


Il y a de nombreuses méthodes variées permettant l'interfaçage d'un tel clavier avec un microprocesseur. Nous avons choisi une technique qui demande un programme appelé moniteur chargé en mémoire morte qui contrôle toutes les opérations du clavier.

3.1.b.1. Touches de Commande :

- Touche Reset : Elle réinitialise le microprocesseur et celui-ci démarre l'exécution du moniteur du clavier chargé en mémoire morte. Cela signifie que le moniteur doit être chargé à l'adresse correspondant à celle que le microprocesseur prend par activation de l'entrée Reset.
- Touche GO : Dans ce cas le moniteur exécute un saut incondi- à l'adresse déterminée par programme afin de débiter l'exécution du programme de traitement.
- Touches (-) et (+) : Sont des touches de signe.

3.1.b.2. Schéma de Principe :



- Fonctionnement :

Les différentes valeurs nécessaires à l'application sont introduites à l'aide du clavier. Le microprocesseur doit pouvoir reconnaître qu'une touche a été enfoncée et en déduire sa valeur numérique. Pour un clavier, un appui sur une touche se traduit par un court circuit entre une ligne et une colonne, le point d'intersection est la touche enfoncée. Pour permettre le dialogue entre le clavier et le microprocesseur, il est nécessaire d'utiliser une interface. Dans cette application, l'interface utilisée est le PIA 6821.

La moitié du PIA est utilisée pour l'interfaçage avec ce clavier de 14 touches qui est connecté à la configuration matricielle. Les lignes de cette matrice sont connectées de PB_4 à PB_7 , les colonnes de PB_0 à PB_3 , voir figure 3.1. Le microprocesseur ne peut reconnaître qu'une touche a été enfoncée que lorsque CB_1 est à 1, on va illustrer le fonctionnement du clavier par l'exemple suivant : En premier lieu les lignes PB_0 à PB_3 du PIA sont à 0 et les lignes PB_4 à PB_7 sont à 1. On appuie sur la touche K5 par exemple. Le niveau 1 contenu dans PB_5 est alors transmis à PB_2 . Une lecture du PIA donne 1111 0100, après on met lignes PB_0 à PB_3 à 1 et les lignes PB_4 à PB_7 à 0 par programme. Le niveau 1 contenu dans PB_2 sera transmis à PB_5 . Une nouvelle lecture du PIA donne 0010 1111. Un ou exclusif entre les deux valeurs

donne le code : 11011011.

A ce niveau, le microprocesseur possède un code représentant le numéro de la ligne et de la colonne. Mais ce code n'est pas évidemment la valeur numérique de la touche enfoncée. Pour cela, on va faire un décodage qui nous permet de reconnaître cette dernière. Le décodage se fait par un programme qui consiste à comparer le code 11011011 avec ceux contenues dans une table chargée en mémoire morte jusqu'à l'identité des deux codes. Cette valeur se trouve à la septième position de la table. Le compteur qui s'est incrémenté à chaque comparaison sauf pour la première contient alors la valeur 7.

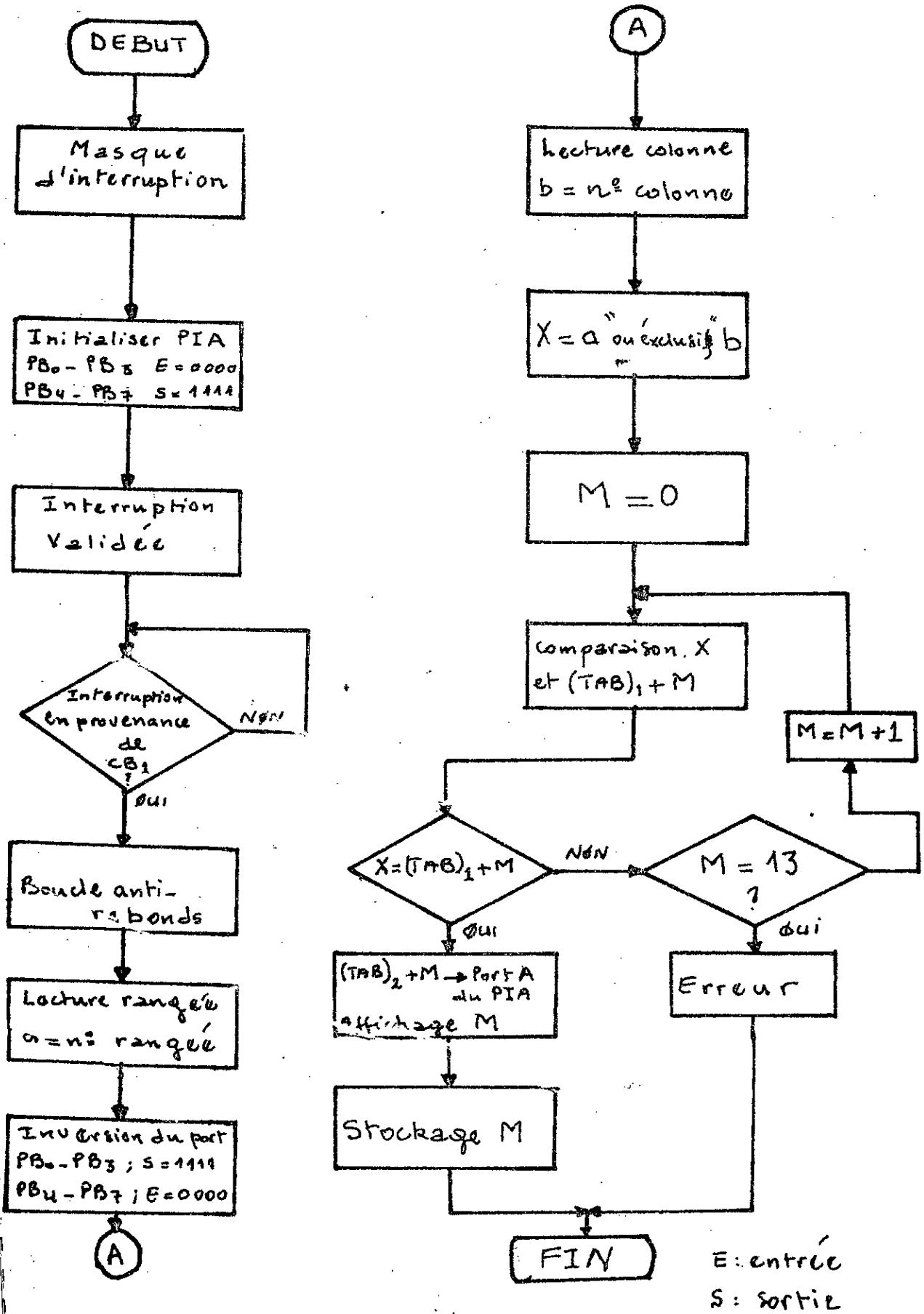
3.1.6.2. Boucle anti - Rebonds :

Le rebond survient lorsque l'utilisateur appuie sur une touche et le temps d'enfoncement ne dure que 10 ms au plus. Lorsque le rebond survient, le microprocesseur peut considérer que la même touche a été activée plusieurs fois au lieu d'une seule. Le moniteur peut éliminer ce problème en ne gérant le clavier que toutes les 20 ms. En d'autres termes, après avoir détecté une touche, le moniteur attend 20 ms avant de retester l'état du clavier.

Ce délai est obtenu en faisant exécuter au microprocesseur une boucle d'attente dans le moniteur.

Une boucle d'attente est une suite d'instructions factices que le microprocesseur exécute un nombre de fois indiqué

Organigramme de gestion du clavier



en général dans le registre indexé ou dans un des registres généraux.

3.1.C. Affichage des valeurs

Introduites par clavier 121

Pour s'assurer que la touche enfoncée a bien été décodée et pour permettre à l'utilisateur de vérifier qu'il ne s'est pas trompé de touche, un programme affiche la valeur correspondant au digit introduit. Ce programme envoie sur le port A du PIA connecté à l'afficheur "7 segments" un code d'allumage des segments correspondants à la valeur introduite par clavier.

Pour cela, nous avons chargé, en plus de la table de reconnaissance des touches, une table contenant les codes "sept segments" correspondants à chaque touche.

L'affichage se fait sur 3 digits, on valide chacun des afficheurs à partir du port B du PIA 2. Cette validation se fait en mettant un "1" logique dans le bit qui correspond à l'afficheur.

Le schéma d'interface entre le PIA et les afficheurs est en figure 3.1.C.1

En figure 3.1.C.2, on remarque que l'afficheur est composé de sept segments qui s'allument en présence d'un "1" (niveau logique haut) sur l'anode du segment et avec la cathode à la masse (niveau logique bas). La façon suivante laquelle l'affichage devra se faire est la suivante:
- écrire le mot à afficher sur le port A du PIA.

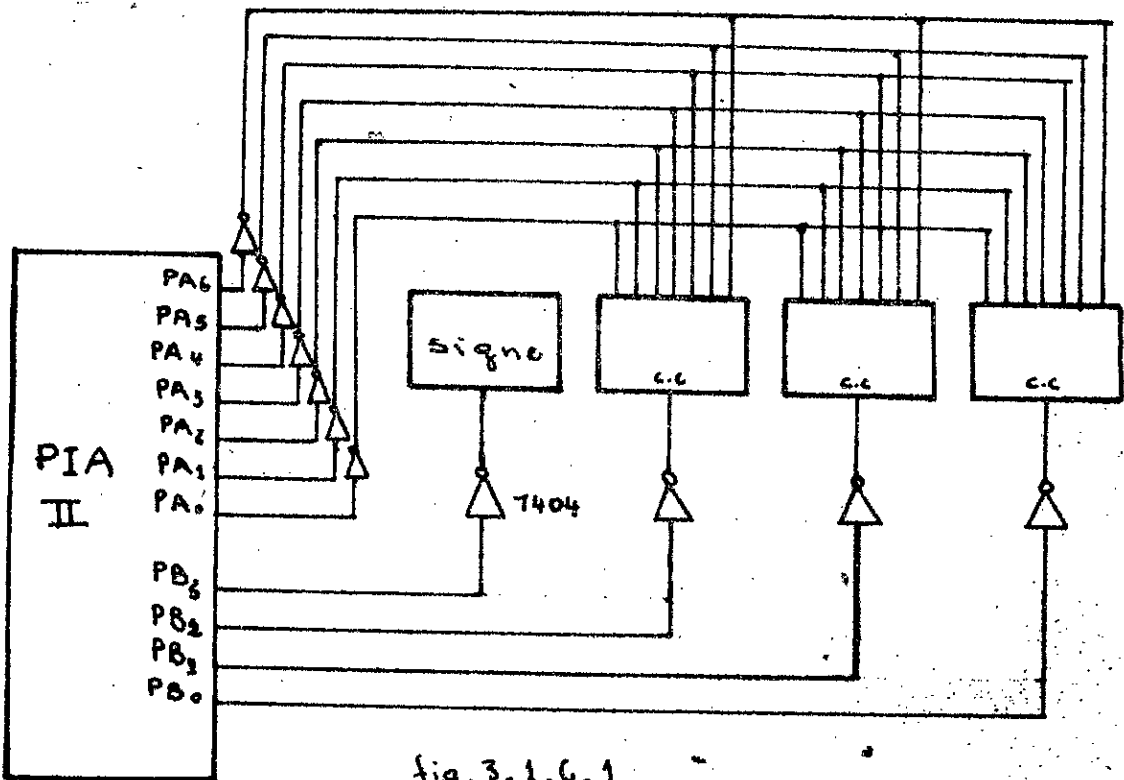


fig. 3.1.C.1

Schema d'affichage

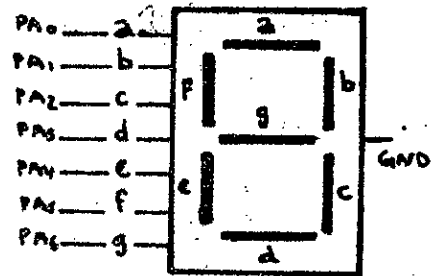


fig. 3.1.C.2
structure d'un afficheur

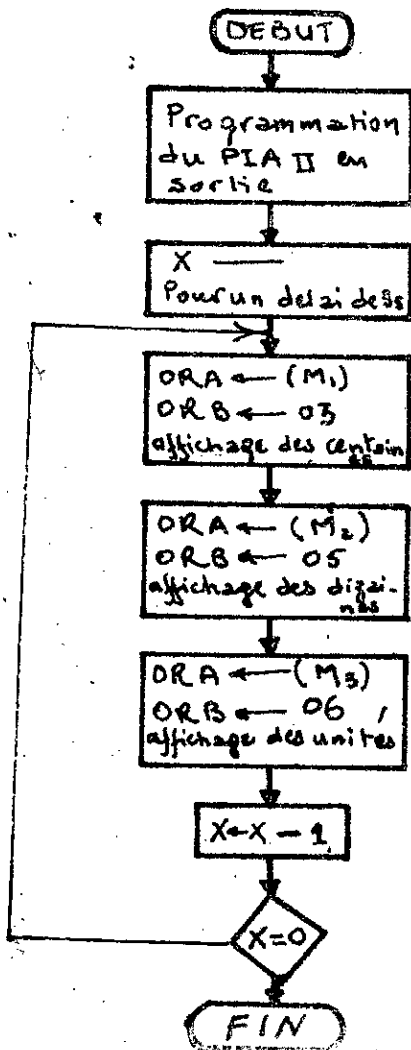


fig. 3.1.C.3

Organigramme d'affichage

- Sélectionner l'afficheur sur lequel le chiffre doit apparaître et envoyer l'indication à travers le port B du PIA.
- Écrire le mot à afficher sur l'afficheur suivant à travers le port A du PIA.
- Sélectionner l'afficheur et envoyer l'information vers le port B du PIA.
- etc... jusqu'à ce que les 3 afficheurs aient été allumés et recommencer le cycle à nouveau jusqu'à ce que le temps d'affichage s'écoule voir figure 3.1.C.3.

Note : Bien qu'il n'y ait qu'un seul afficheur allumé à tout instant, il apparaît à l'œil humain que tous les afficheurs le sont. Cela est dû à une propriété de la rétine de l'œil humain.

Remarque 1 : On doit utiliser des inverseurs type 7404 ce qui permettra une amplification de courant nécessaire à l'allumage d'un segment LED.

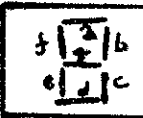
Il n'est pas nécessaire d'inverser le signal venant de PB_3 puisque le segment (-) s'allume sur un niveau bas.

Remarque 2 : Les afficheurs utilisés sont tels que :

- Un segment est allumé lorsqu'on applique à son entrée un niveau bas (présence du 7404).
- Un segment est éteint lorsqu'on applique à son entrée un niveau haut.

Touche	code généré								code Hexa.	Mémoire
	PB ₇	PB ₆	PB ₅	PB ₄	PB ₃	PB ₂	PB ₁	PB ₀		
0	0	1	1	1	0	1	1	1	77	FDDC
1	0	1	1	1	1	0	1	1	7B	FDDD
2	0	1	1	1	1	1	0	1	7D	FDDE
3	1	0	1	1	0	1	1	1	B7	FDDF
4	1	0	1	1	1	0	1	1	BB	FDE0
5	1	0	1	1	1	1	0	1	BD	FDE1
6	1	1	0	1	0	1	1	1	D7	FDE2
7	1	1	0	1	1	0	1	1	DB	FDE3
8	1	1	0	1	1	1	0	1	DD	FDE4
9	1	1	0	1	1	1	1	0	DE	FDE5
+	1	1	1	0	1	0	1	1	EB	FDE6
-	1	1	1	0	1	1	0	1	ED	FDE7
GO	1	1	1	0	0	1	1	1	E7	FDE8

TAB1: Table de reconnaissance des touches enfoncées

	PA ₇	PA ₆	PA ₅	PA ₄	PA ₃	PA ₂	PA ₁	PA ₀	code Hexa.	Mémoire
	a	b	c	d	e	f	g	x		
0	1	1	1	1	1	1	0	0	FC	FE00
1	0	1	1	0	0	0	0	0	60	FE01
2	1	1	0	1	1	0	1	0	DA	FE02
3	1	1	1	1	0	0	1	0	F2	FE03
4	0	1	1	0	0	1	1	0	66	FE04
5	1	0	1	1	0	1	1	0	B6	FE05
6	1	0	1	1	1	1	1	0	BE	FE06
7	1	1	1	0	0	0	0	0	E0	FE07
8	1	1	1	1	1	1	1	0	FE	FE08
9	1	1	1	1	0	1	1	0	F6	FE09

TAB2: Table d'équivalence Décimal - 7 segments

3-2-Interface entre le microsysteme et le systeme de regulation. 141

3.2.a - Convertisseur Numérique analogique :

Un convertisseur numérique analogique est un dispositif qui reçoit une information sous forme d'un mot de n bits et qui la transforme en un signal analogique : c'est donc un système hybride. Un CNA fait correspondre à l'une des 2^n combinaisons binaires possible à l'entrée (correspondant à un signal d'entrée de n bits) une parmi 2^n tensions discrètes obtenus à partir d'une tension de référence V_{ref} la loi de correspondance peut être quelconque, mais habituellement on adopte la relation binaire naturelle et une variation linéaire.

3.2.b Convertisseur utilisé :

Le DAC type 1408 de Motorola est un convertisseur numérique analogique sur 8 bits.

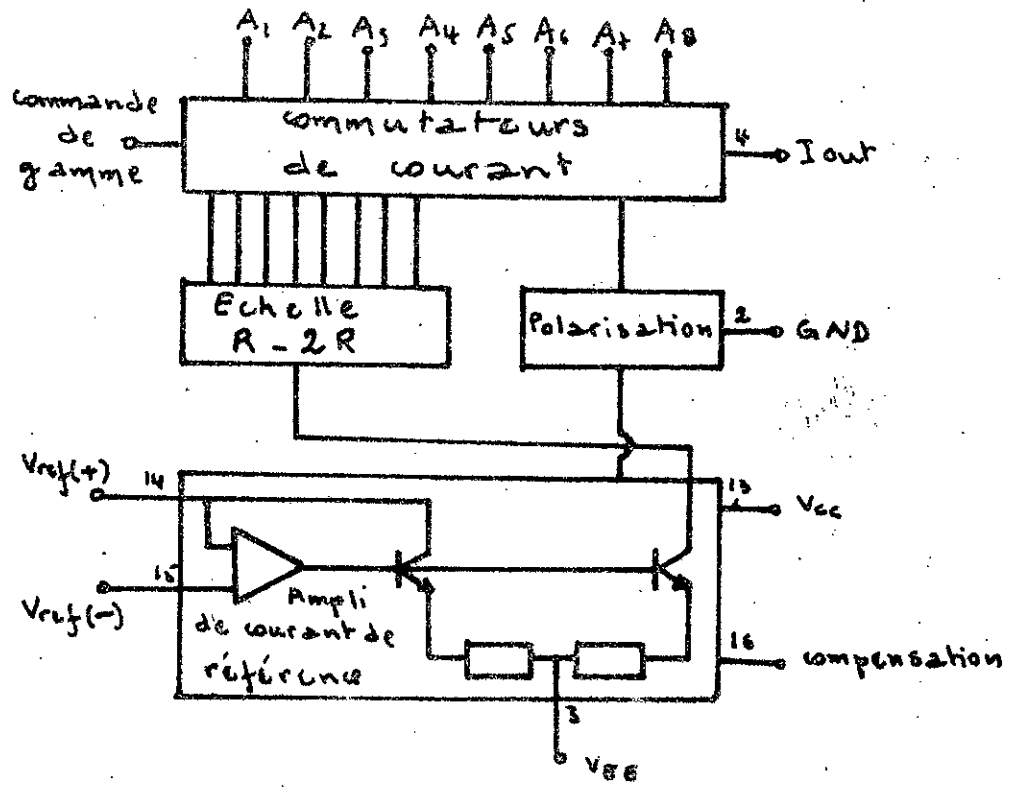
Sa précision relative est de $\pm 0,19\%$ et son temps d'établissement est de 300 ns.

3.2.b.1. Description du convertisseur : voir fig 3.2.1

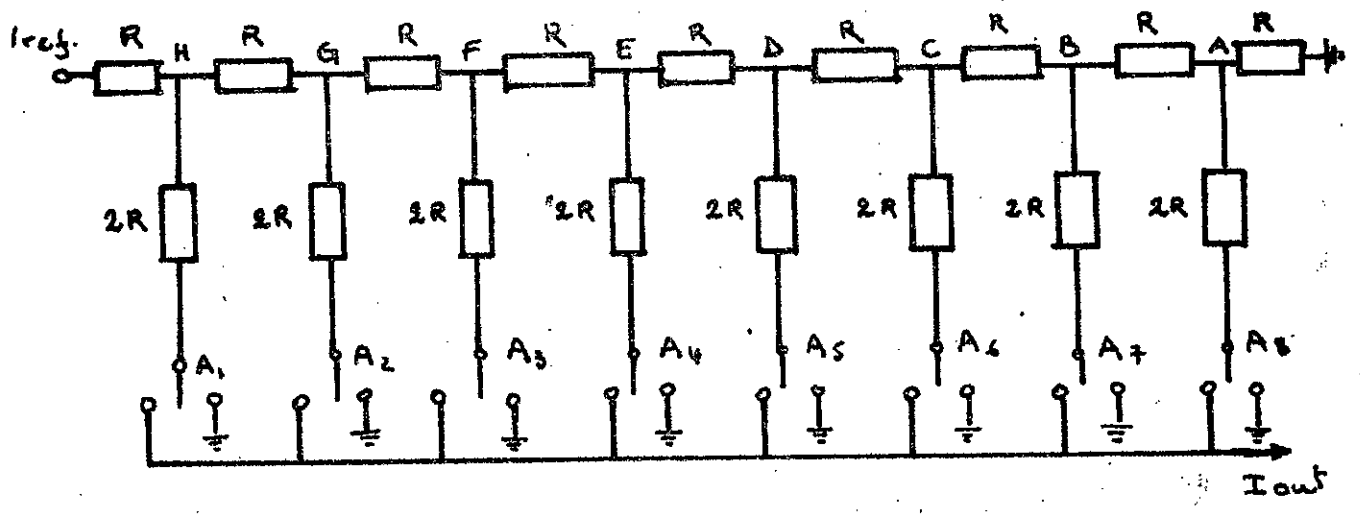
Le convertisseur est composé de :

- 1 amplificateur de courant de référence.
- 1 échelle R-2R.
- 8 commutateurs rapides.

Chaque bit du mot d'entrée commande un commutateur connecté vers la masse pour un 0, vers la ligne de sommation pour un 1. La tension à l'entrée de l'amplificateur



Synoptique du MC 1408



Echelle R-2R

fig 3.2.1.

opérationnel étant nulle, quelle que soit la position de commutateur, la résistance $2R$ qui il pilote est reliée à un potentiel nul. Ainsi si l'on se place au point noté A, et qu'on regarde vers la droite, on voit apparaître deux résistances $2R$ en parallèle. L'impédance résultante est R . Si on se place à présent au point B en observant toujours la droite du schéma, on voit ici une résistance R en série avec la résistance R trouvée à partir de A soit $2R$ au total, le tout en parallèle sur $2R$. La résultante donne à nouveau R . Le même raisonnement est valable pour les points C, D, E, F, G, H, quelque soit le point où l'on se place on voit apparaître une résistance R qui se trouvera ainsi en série avec une dernière résistance R reliée à une source de référence. On a donc au point H, la tension $\frac{V_{ref}}{2}$, on en déduit en développant le même rai-

sonnement mais de la gauche vers la droite les différentes tensions aux points G, F, E, D, C, B et A qui sont respectivement : $\frac{V_{ref}}{4}$; $\frac{V_{ref}}{8}$; $\frac{V_{ref}}{16}$; $\frac{V_{ref}}{32}$; $\frac{V_{ref}}{64}$; $\frac{V_{ref}}{128}$ et $\frac{V_{ref}}{256}$

Le courant I_{out} délivré à la sortie du convertisseur est égal à la somme des courants circulant dans les résistances $2R$ reliées à la ligne de sommation.

L'expression de ce courant est donc la suivante :

$$I_{out} = \frac{V_{ref}}{2} \frac{A_1}{2R} + \frac{V_{ref}}{4} \frac{A_2}{2R} + \frac{V_{ref}}{8} \frac{A_3}{2R} + \frac{V_{ref}}{16} \frac{A_4}{2R} + \frac{V_{ref}}{32} \frac{A_5}{2R} + \frac{V_{ref}}{64} \frac{A_6}{2R} + \frac{V_{ref}}{128} \frac{A_7}{2R} + \frac{V_{ref}}{256} \frac{A_8}{2R}$$

A l'aide de l'amplificateur opérationnel ce courant va être converti en tension.

3.2.b.2. Conversion en tension de la sortie du convertisseur:

La sortie 4 en courant du CNA attaque un amplificateur opérationnel $\mu A 741$. La sortie V_o est donnée, en volts

par :

$$V_o = \frac{V_{ref}}{R} R_o \left(\frac{A_1}{2} + \frac{A_2}{4} + \frac{A_3}{8} + \frac{A_4}{16} + \frac{A_5}{32} + \frac{A_6}{64} + \frac{A_7}{128} + \frac{A_8}{256} \right)$$

voir figure 3.2.2

La tension maximale est obtenue quand tous les bits sont à 1.

$$V_{o \max} = \frac{5}{10^3} R_o \left(\frac{1}{2} + \frac{1}{4} + \frac{1}{8} + \frac{1}{16} + \frac{1}{32} + \frac{1}{64} + \frac{1}{128} + \frac{1}{256} \right)$$

$$V_{o \max} = \frac{5}{10^3} R_o \frac{255}{256}$$

La température de consigne varie entre -160°C et $+160^\circ\text{C}$, la sensibilité du thermomètre numérique étant de $10 \text{ mV}/^\circ\text{C}$. La température $T = +160^\circ\text{C}$ doit

correspondre à une tension $V_{out} = +1,6 \text{ V}$, on a fait

$$V_{o \max} = 0,0049 R_o = 2,55 \text{ V}, \text{ on a donc } R_o = 512 \Omega.$$

La tension V_{out} délivrée par le $\mu A 741$ est toujours positive or la température de consigne varie entre -160°C et $+160^\circ\text{C}$, et aux températures négatives doivent correspondre des tensions négatives.

Il faut donc inclure dans le montage précédent un circuit qui permet d'obtenir une tension de même signe que la température. (voir figure 3.2.3) réalise cette fonction.

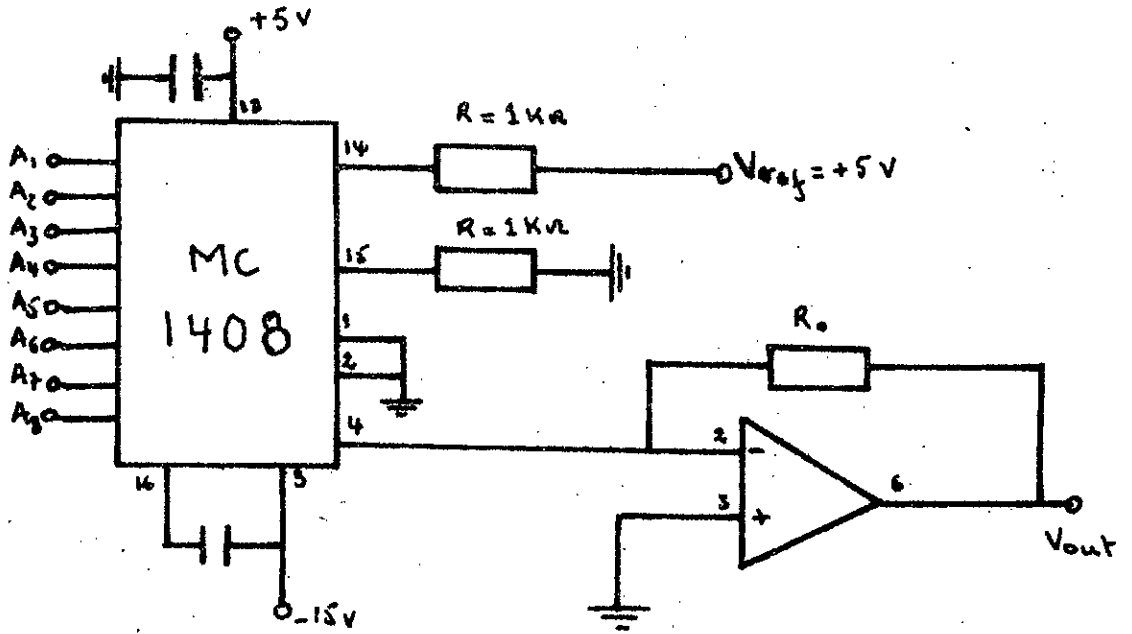


fig 3.2.2

Montage de conversion

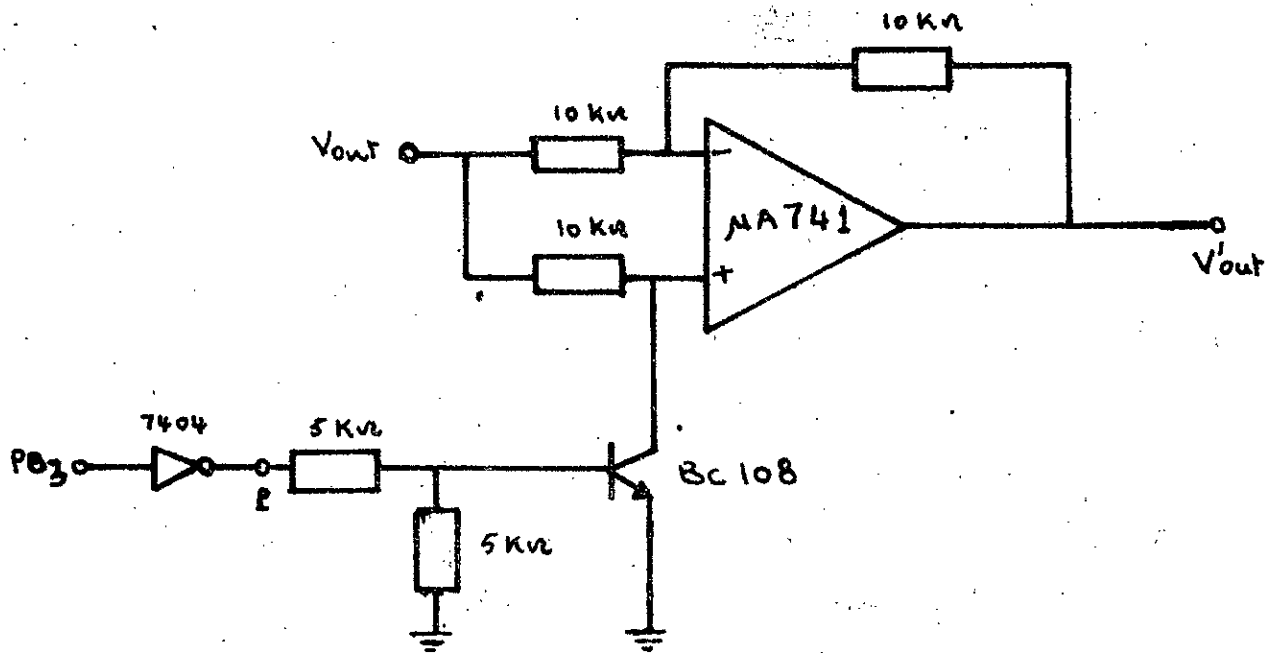


fig 3.2.3.

Fonctionnement de ce Montage :

Suivant l'état bloqué ou saturé du transistor, la tension V_{out} sera positive ou négative. Le blocage ou la saturation du transistor dépendra de l'état de la ligne de commande PA_1 .

- Lorsque $PA_1 = 1$ donc $P = 0$, le transistor est bloqué on aura pour expression de V_{out} :

$$V_o = -\frac{10}{10} V_{out} + \left(1 + \frac{10}{10}\right) V_{out} = V_{out}$$

- Lorsque $PA_1 = 0$ donc $P = 1$, le transistor est saturé la tension V_{CE} est négligeable, la borne (+) de l'amplificateur est donc mise à la masse ; d'où :

$$V_o = -\frac{10}{10} V_{out} = -V_{out}$$

Remarque : on utilise un inverseur du type 7404 afin de protéger la ligne PB_3 contre un éventuel retour d'un courant important qui risque d'endommager le PIA.

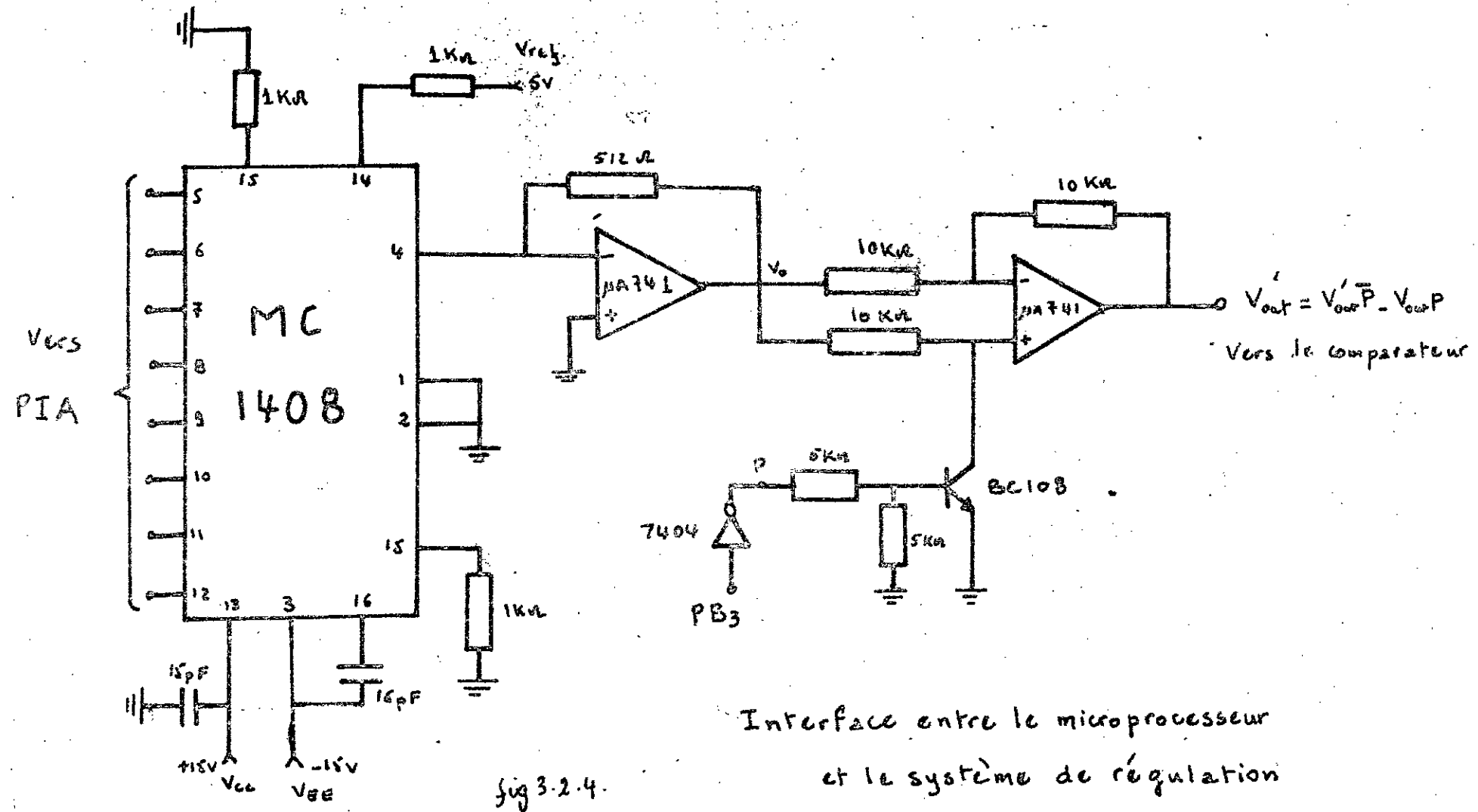


fig 3.2.4.

Interface entre le microprocesseur et le système de régulation

4-0-Programmation des PIA :

Le rôle que doit jouer le PIA est déterminé par programme. La définition de la configuration fonctionnelle se fait en écrivant dans les positions mémoires attribuées aux registres du PIA, les informations indiquant la fonction que doit réaliser le PIA. Une fois que ce circuit est programmé il est prêt à assurer l'interface entre le périphérique et le microprocesseur.

4-a-1- PIA 1 :

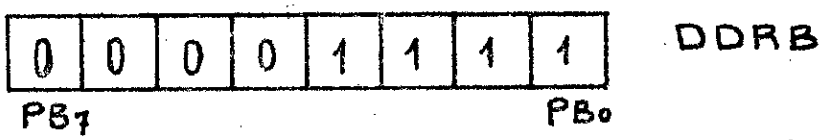
On a utilisé le port A de ce PIA pour recevoir la valeur de la température calculée par le microsystème. Elle-ci est transformée d'une donnée binaire en une tension analogique, après on la transfère vers le comparateur afin que s'effectue la comparaison avec le signal issue du thermomètre.

On a programmé le port A en sortie. Cette programmation a été faite en trois étapes :

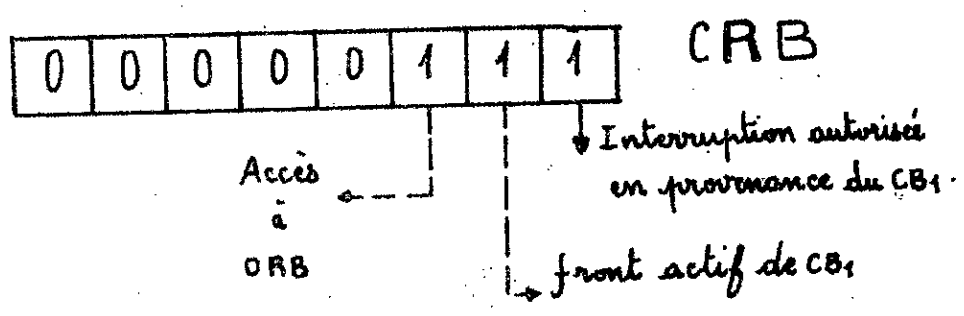
- On accède au registre CRA et l'on y place zéro, ce qui autorise l'accès aux registres DDRA.
- On accède au registre DDRA où l'on écrit la configuration en sortie de ces registres c'est à dire \$FF.
- On accède de nouveau aux registres CRA et l'on met le bit b₂ de ces registres à 1, afin de permettre l'accès à ORA.

CLR	A	
STA	A	(CRA)
LDA	A	\$FF
STA	A	(DDRA)
LDA	A	\$04
STA	A	(CRA)

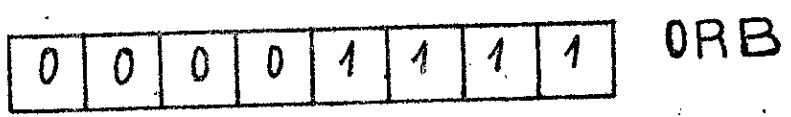
Le port B du PIA 1 est utilisé pour la gestion du clavier.
 La programmation de ce port s'effectue comme suit :
 On accède au registre de direction de données et programmer les lignes PB₀ - PB₃ en sorties et PB₄ - PB₇ en entrées.



Mais avant on doit mettre le bit b₂ du registre de contrôle à "0". Ensuite on programme le registre de contrôle CRB de manière à valider l'interruption en provenance de CB₁, sur un front actif montant, et accéder au registre de données ORB.

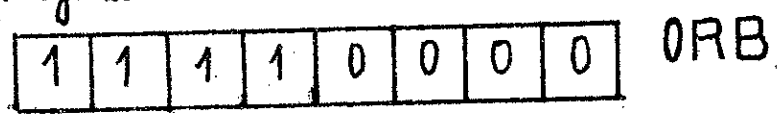


On charge ainsi ORB avec la valeur \$ 0F.



Après la réception de l'interruption et la lecture de la rangée on inverse le port.

On remet le bit b₂ de CRB à "0" pour accéder une deuxième fois à DDRB et le charger par la valeur \$F0, c'est à dire PB₀ - PB₃ en entrées, PB₄ - PB₇ en sorties. On charge alors ORB avec \$F0.

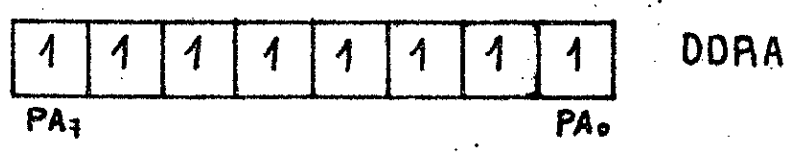


4 - a - 2 - PIA 2 :

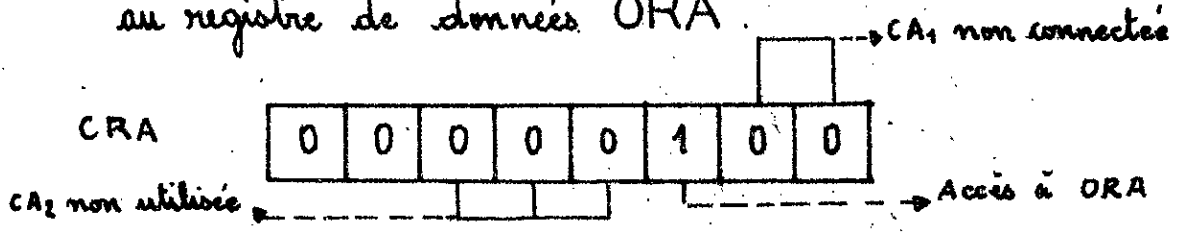
- On a utilisé le port A pour l'affichage. Les lignes PA₀-PA₇ sont programmées en sorties. Aucune ligne de commande CA₁, CA₂ n'est utilisée.

d'où :

- On met CRA à zéro pour pouvoir accéder à DDRA.



- On programme ensuite le registre CRA pour accéder au registre de données ORA.



- le port B de ce même PIA a été utilisé pour la validation des afficheurs et bit de signe.

Il est programmé en sortie de la même manière que le port A.

4-b-Elaboration des calculs:

Le programme de traitement comprend essentiellement des multiplications en code binaire naturel et un programme de conversion de T_c du code binaire en code BCD car l'affichage devant se faire en décimal.

1^o Conversion "binaire naturel" - BCD:

La valeur décimale d'un nombre binaire de K bits est donnée par la relation: $N_{10} = \sum_{n=0}^{K-1} 2^n b_n$.

Nous devons convertir la valeur absolue des poids forts de T . Sachant que cette dernière est sur 8 bits on peut écrire:

$$T = \sum_{n=0}^7 2^n b_n = 128 b_7 + 64 b_6 + 32 b_5 + 16 b_4 + 8 b_3 + 4 b_2 + 2 b_1 + b_0.$$

Si on désire exprimer T en BCD, il est nécessaire que le microprocesseur effectue ces sommes en code BCD, ce dernier dispose d'une instruction "ajustement décimal" lui permettant ce genre de calculs. Les valeurs 64, 32, 16... doivent être considérées, comme étant des valeurs "BCD",

ce qui se traduit par l'écriture suivante:

$$64 = 0110 \quad 0100 = \$64$$

$$32 = 0011 \quad 0010 = \$32$$

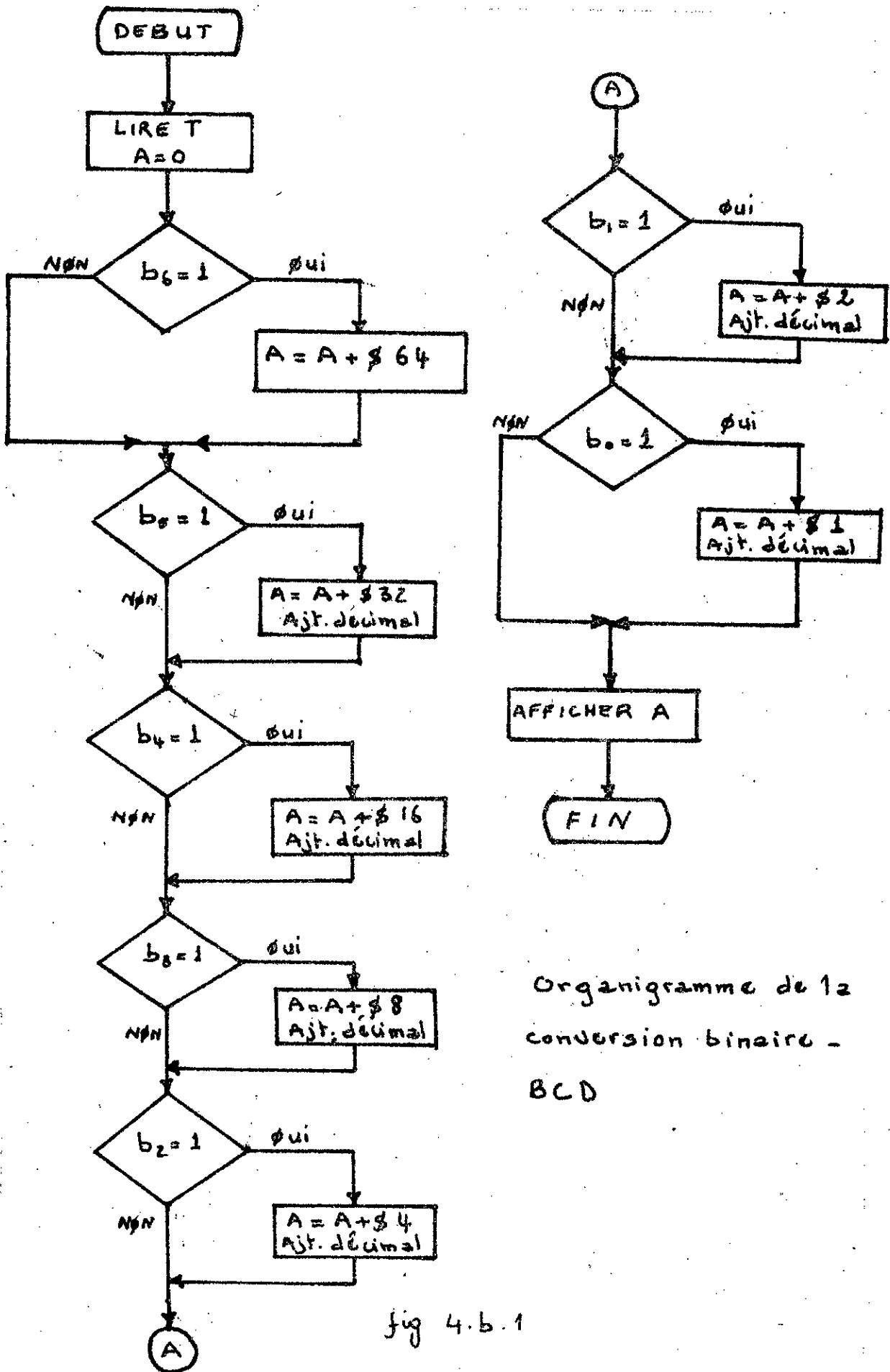
$$16 = 0001 \quad 0110 = \$16.$$

chaque digit devant être codé seul.

a - Algorithme: Soit $A = 0$

1. Tester la valeur de T $\begin{cases} T \geq 100 \Rightarrow \text{afficher 1 sur le 1^{er} digit} \\ T < 100 \Rightarrow \text{ " " " " } \end{cases}$

2. Tester b_6 $\begin{cases} b_6 = 1 \Rightarrow A = A + 2^6 = A + \$64 \\ b_6 = 0 \text{ passer en 3} \end{cases}$



Organigramme de la conversion binaire - BCD

fig 4.b.1

$$3. \text{ Tester } b_5 \begin{cases} b_5 = 1 \Rightarrow A = A + 2^5 = A + \$32 \\ b_5 = 0 \text{ passer en 4.} \end{cases}$$

$$4. \text{ Tester } b_4 \begin{cases} b_4 = 1 \Rightarrow A = A + 2^4 = A + \$16 \\ b_4 = 0 \text{ passer en 5} \end{cases}$$

$$5. \text{ Tester } b_3 \begin{cases} b_3 = 1 \Rightarrow A = A + 2^3 = A + \$8 \\ b_3 = 0 \text{ passer en 6.} \end{cases}$$

$$6. \text{ Tester } b_2 \begin{cases} b_2 = 1 \Rightarrow A = A + 2^2 = A + \$4 \\ b_2 = 0 \text{ passer en 7.} \end{cases}$$

$$7. \text{ Tester } b_1 \begin{cases} b_1 = 1 \Rightarrow A = A + 2^1 = A + \$2 \\ b_1 = 0 \text{ passer en 8} \end{cases}$$

$$8. \text{ Tester } b_0 \begin{cases} b_0 = 1 \Rightarrow A = A + 2^0 = A + \$1 \\ b_0 = 0 \text{ passer en 9} \end{cases}$$

9. Conversion terminée

Pour l'organigramme voir fig 4. b. 1'

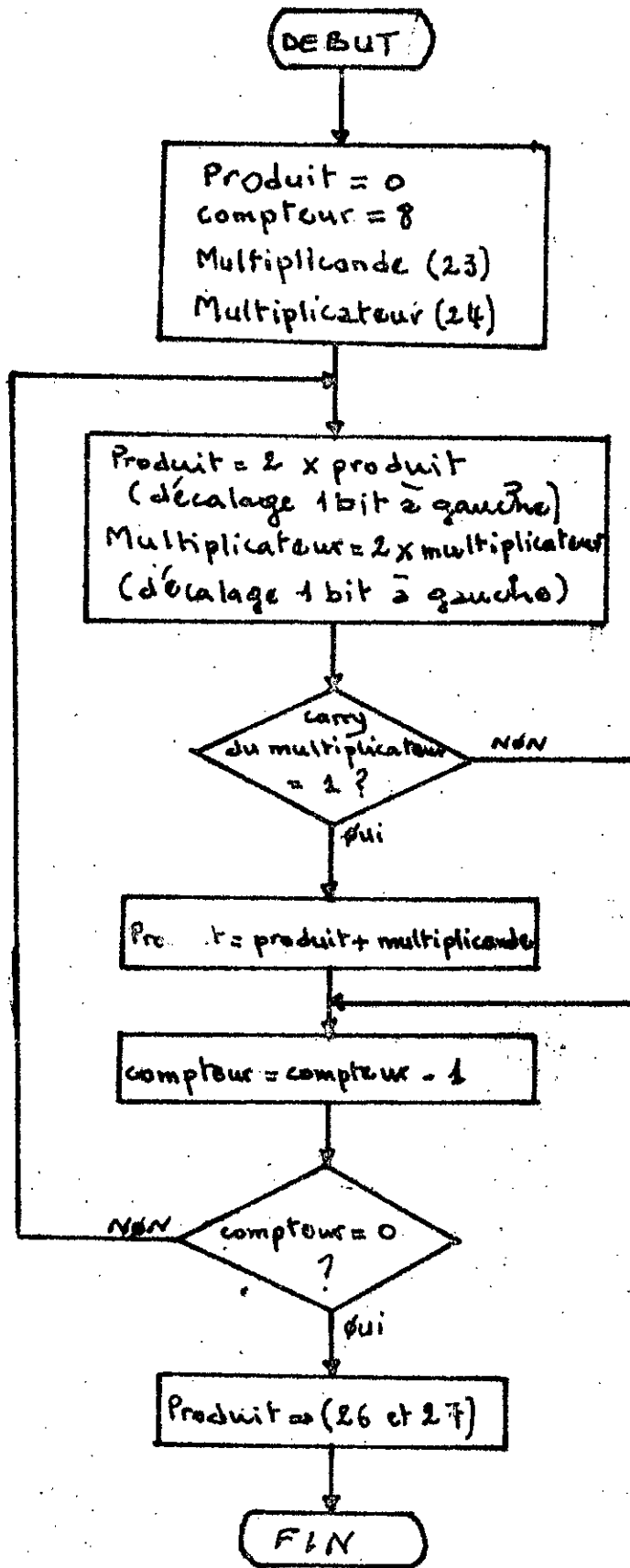
2. Multiplication de deux nombres à 8 bits sans signe :

Le programme consistera à multiplier le nombre de 8 bits qui se trouve en location 0023 (multiplicande) avec le nombre de 8 bits qui se trouve en location 0024. On va mettre l'octet de plus haut poids en 0027 et l'octet de plus faible poids du résultat en location 0026.

Les règles de multiplication en binaire sont les mêmes que lorsqu'on fait la multiplication à la main. La multiplication en binaire consiste à multiplier par 0 ou par 1.

Elle peut être réduite à :

Si le bit du multiplicateur est 1, ajouter le multiplicande à l'ancien produit décalé, sinon décaler l'ancien produit



Organigramme de la multiplication
fig 4. b. 2

seulement. Le problème qui reste à définir consiste à aligner multiplicande et produit proprement à chaque fois.

L'opération suivante effectue cette tâche :

1. Décaler le multiplicateur à gauche par 1 bit de façon que le bit à examiner soit dans le drapeau 'carry'.

2. Décaler le produit à gauche par 1 bit de façon que la prochaine addition soit bien alignée.

Le procédé complet de la multiplication est comme suit :

1^{er} étape : initialisation produit = 00
compteur = 08

2^{ème} étape : décaler le multiplicateur que le MS bit aille au 'carry'. Multiplicateur = 2 × Multiplicateur.

3^{ème} étape : Décaler le produit à gauche par 1 bit
produit = 2 × produit (LS bit** = 0)

4^{ème} étape : ajouter le multiplicande au produit si le 'carry' est 1.

Si 'carry' = 1 ; produit = produit + multiplicande.

5^{ème} étape : Diminuer le compteur par 1, et voir si égal à zéro. Compteur = Compteur - 1.

Si Compteur différent de zéro allez à étape 2.

Pour l'organigramme voir fig 4.6.2

3° Organigrammes de simulation de la Température en fonction du temps :

voir figures 4.6.3; 4.6.4; 4.6.5.

* MS bit : bit de plus haut poids.
** LS bit : bit de plus faible poids.

Simulation de la courbe de température.

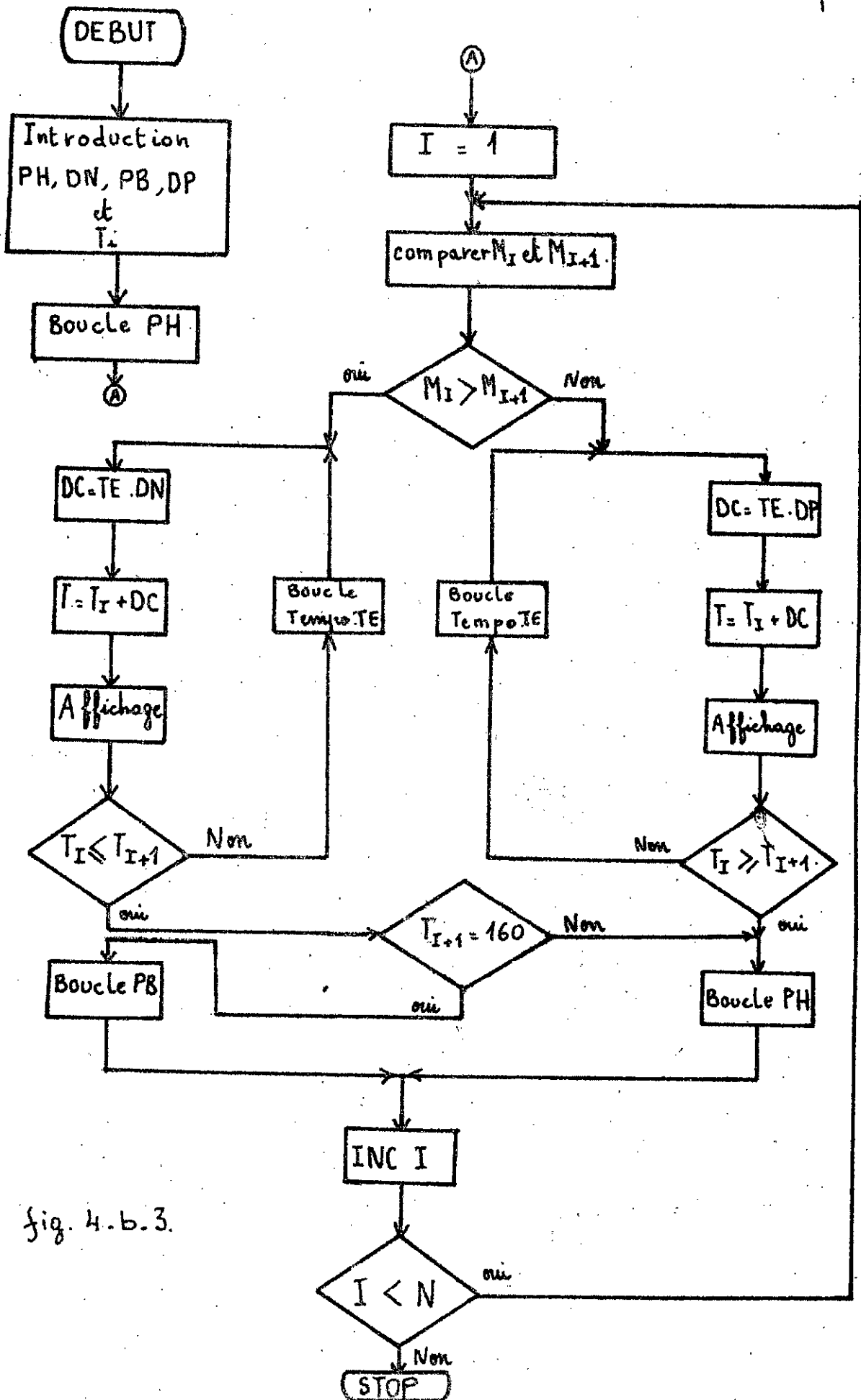


fig. 4.b.3.

Organigramme
détaillé de la
Simulation de la
température

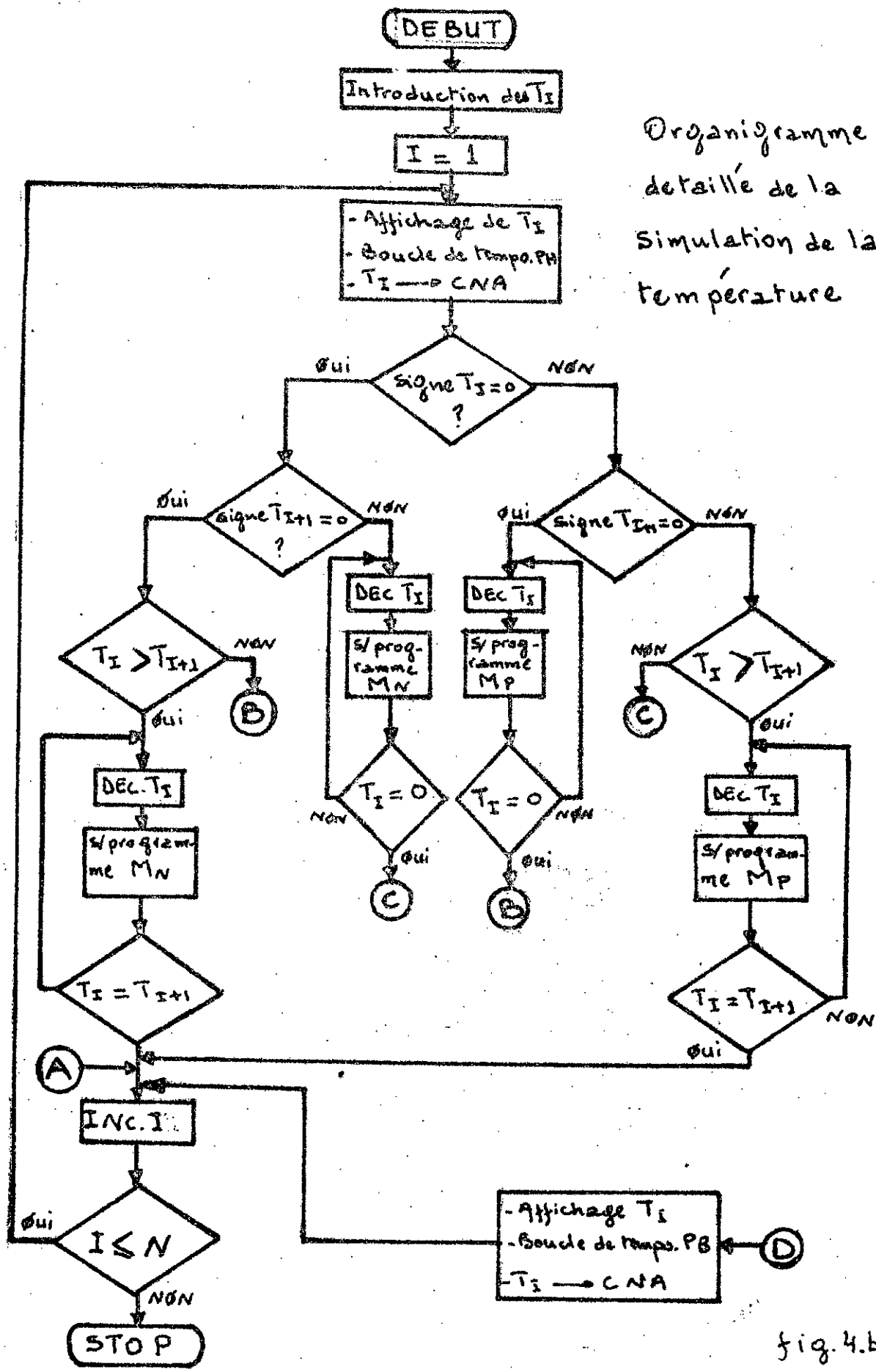
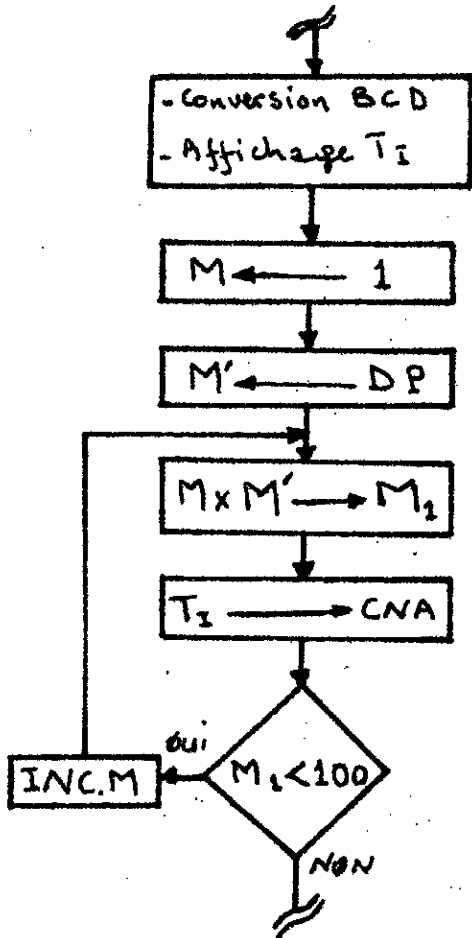


fig.4.b4

* signe $T_I = 0 \iff T_I$ positif

* Pour les symboles \bigcirc , voir page suivante.

Organiigramme du
Sous programme Mp



Organiigramme du
Sous programme Mn

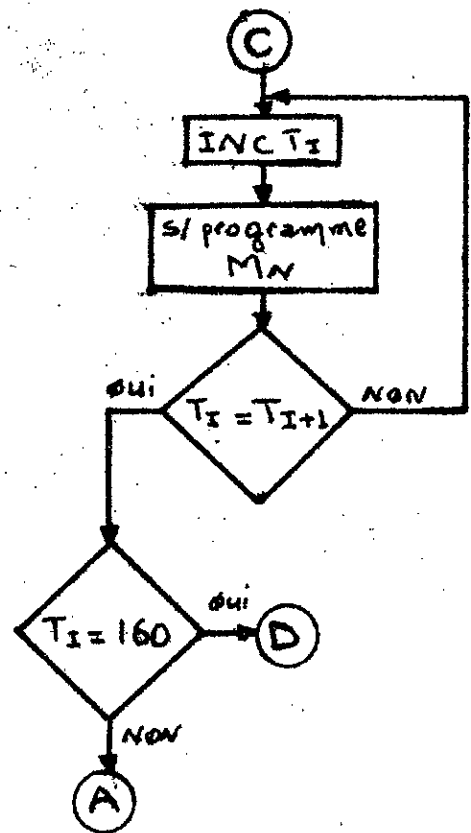
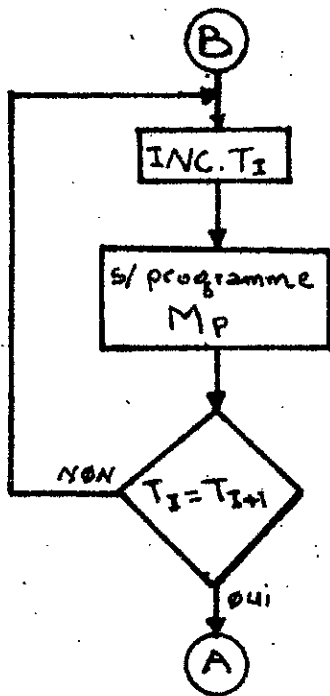
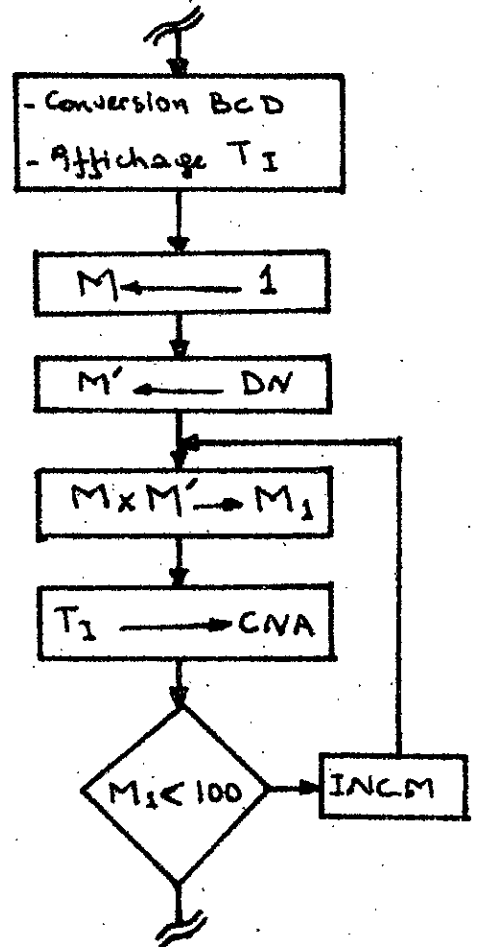


fig. 4-b-5

Assembleur. mém	#	code op.	commentaires
SEI	1	0F	Initialisation & Gestion du clavier
INIT CLR A	1	4F	Masque d'interruption
STAA (CRB) ₁	3	B7 E103	Accès à (DDRB) ₁
LDA A # \$ 0F	2	86 0F	Pb ₀ - Pb ₃ en sorties
STAA (DDRB) ₁	3	B7 E102	
LDA B # \$ 07	2	C6 07	Pb ₄ - Pb ₇ en entrées
STAB (CRB) ₁	3	F7 E103	Programmation du registre de contrôle
STAA (ORB) ₁	3	B7 E102	mise à 1 de Pb ₀ à Pb ₃
LDS # \$ 057F	3	BE 057F	chargement du SP à l'ad. 057F
CLI	1	0E	
WAI	1	3E	Attente d'interruption
Lp LDX # \$ 09C4	3	CE 09C4	Boucle anti rebonds
DEX	1	09	t = 20 ms
BNE Lp	2	26 0A	
LDA B (ORB) ₁	3	F6 E102	Lecture rangée
LDA A # \$ 03	2	86 03	
STAA (CRB) ₁	3	B7 E103	Accès à (DDRB) ₂
LDA A # \$ F0	2	86 F0	inversion du port Pb ₀ -Pb ₃ entrées
STAA (DDRB) ₁	3	B7 E102	Pb ₄ -Pb ₇ sorties
STAA (CRB) ₁	3	B7 E103	
STAA (ORB) ₁	3	B7 E102	mise à 1 de Pb ₄ - Pb ₇
EDR B (ORB) ₁	3	F8 E102	Lecture colonne → détection code
LDX # \$ (TAB) ₁	3	CE F7A1	chargement de l'index avec (TAB) ₁
CLR A	1	4F	
ENC CMP B 0,X	2	E1 00	comparaison du code de la touche
BEQ \$BK	2	27 35	avec ceux contenus dans la table
INX	1	08	
INCA	1	4C	contenu de A = nbre de comparaison
CMP A # \$ 0E	2	B1 0E	
JMP ERR	3	7E E8FC	Branchement ss. prog. Erreur
BRA ENC	2	20 F3	
LDA B # \$ 0A	2	C6 0A	Voir si la touche "Go" a été
CBA	1	11	enfoncée
JMP DEL	3	7E E8F6	
CLR \$ 10	3	7F 0010	
LDA B # \$ 30	2	C6 30	
STAB \$ 0011	3	F7 0011	
LDX \$ 10	3	7C 0010	contenu de M dans l'index
LDA B # \$ 0C	2	C6 0C	Voir si la touche "-" a été
CBA	1	11	enfoncée
BEQ SK	2	27 07	
LDA B # \$ 0B	2	C6 0B	Voir si la touche "+" a été
CBA	1	11	enfoncée
BEQ KS	2	27 0C	
BRA BK	2	91 14	
SK LDA B # \$ 01	2	C6 01	si la touche "-" enfoncée →
STAB 0,X	3	F7 00	on stocke 1 dans la mém. qui
INC \$ 0011	3	7C 0011	correspond.

Assembleur.mém.	≠	code op.	Commentaires
BRA INIT	2	20 97	
KS CLR B	1	5F	
STAB 0,X	3	F7 00	si la touche "+" a été enfoncée → on stocke 0 dans la case Mém. qui correspond.
INC \$0011	3	7C 0011	
INBAA INIT	2	20 8E	
BK STA A 0,X	3	B7 00	stockage de la valeur de la touche enfoncée
INC \$0011	3	7C 0011	
CLR \$0002	3	7F 0002	
INC \$0002	3	7C 0002	compte le nbre de chiffre introduit
LDAB # \$03	2	C6 03	
CMPB \$02	2	D1 02	comparés (B) avec (0002)
BEQ CR	2	27 02	
BRA INIT	2	20 EA	
CR CLR \$0002	3	7F 0002	
CLR B	1	5F	mettre à zéro la case mém. qui vient juste après celle consacrée aux centaines
STAB 0,X	3	F7 00	
INL \$0011	3	7C 0001	
CLR \$FDFF	3	7F FDFF	
LDB (TAB) ₂	3	CE FE00	chargement de l'index avec (TAB) ₂
MLCMPA 0,X	3	B1	
BEQ TH	2	27	Recherche du code de la touche à afficher
INX	1	08	
DEC A	1	4A	
CPX \$FE0D	3	BC FE0D	
BEQ ERR	2	27 54	
BRA ML	2	20 F4	
LDAB 0,X	3	F6 00	Les 3 codes d'affichage
CLR \$0012	3	7F 0012	des nbres introduits
LDB \$0012	3	CE 0012	
STAB 0,X	3	F7 00	
INC \$13	3	7C 0013	
LDA A \$13	3	B6 0013	
LDA B \$16	3	F6 0016	
CBA	1	1A	
BEQ HT	2	27 03	
BRA INIT	3	20 B2	
HT LDAA # \$14	2	86 14	
STA A \$0013	3	B7 0013	
LDAB # \$06	2	C6 06	delai de 3 s
KWLDX # \$FFFF	3	CE FFFF	
KX LDA A \$0014	3	B6 0014	
STA A (ORA) ₂	3	B7 E104	transfert de (0014) dans l'(ORA) ₂
LDA A # \$03	2	86 03	
STA A (ORB) ₂	3	B7 E106	valider le 1 ^{er} afficheur (le plus à gauche)
LDA A \$0015	3	B6 0015	
STA A (ORA) ₂	3	B7 E104	
LDA A # \$05	2	86 05	valider le 2 ^{ème} afficheur
STA A (ORB) ₂	3	B7 E106	
LDA A \$0016	3	B6 0016	

Assemb	mém	#	code op.	commentaires
STA A	(ORA) ₂	3	B7E104	Valider le Σ = afficheur
LDA A	≠ \$06	2	86 06	
STA A	(ORB) ₂	3	B7E106	
DEX		1	09	
BNE	KX	2	26 2C	
DEC B		1	5A	
BNE	KW	2	26 D6	
CLR	\$0001	3	7F0001	
INC	\$0001	3	7C 0001	
BRA	DL	2	20 D	
ERR LDA A	≠ \$9E	2	869E	Compte le nbre de valeurs introd- uites Dans le cas d'une erreur affichage de 8 jusqu'à initialisation.
STA A	\$(ORA) ₂	3	B7E104	
LDA B	≠ \$03	2	C6 03	
STA B	\$(ORB) ₂	3	F7E106	
BRA	ERR	2	20 F4	*Rangement des valeurs introd- uites. Chargement de l'index par le contenu de la mém. correspondant au dizaine Appel au sous programme de la multiplication (multiplicateur = 10)
LDX	\$0030	3	FE 0030	
LDA A	≠ \$0A	2	86 0A	
LDA B	0,X	3	F6 00	
STA A	\$0018	3	B7 0018	
STA B	\$0019	3	F7 0019	
JSR	MPY	3	BD FCD3	
LDA B	\$26	3	F6 0026	
STAB	\$1D	3	F7 001D	
INX		1	08	
STX	\$1C	3	FF001C	addition de l'unité à (dizaine x 10)
LDA A	\$1D	3	B6 001D	
ADDA	\$1A	3	BB 001A	
CLR B		1	5F	
DEX		1	09	
DEX		1	09	
CMPB	0,X	3	F1 00	
BEQ	AF	2	27 03	
LDA B	≠ \$64	2	C6 64	
ABA		1	1B	
AF STAA	0,X	3	B7 00	Stockage de la valeur introduite dans 2 cases mémoires. Une pour le signe et celle qui suit pour la valeur absolue.
LDX	\$10	3	FE 0010	
INX		1	08	
INX		1	08	
LDA A	0,X	3	B6 00	
DEX		1	09	
STA A	0,X	3	B7 00	
INX		1	08	
INX		1	08	
INX		1	08	
LDA A	0,X	3	B 00	
DEX		1	09	
DEX		1	09	
DEX		1	09	
STA A	0,X	3	B 00	

Assembleur mém.	#	code op.	commentaires	
CLRA	1	4F	Programmation du port A du PIA I servant à envoyer les valeurs vers le convertisseur	
STAA (CRA) ₁	3	B7E101		
LDA A \$FF	2	B600FF		Accès à DDRA ₁
STAA (DDRA) ₁	3	B7E100		PA0 - PA7 en sortie
LDA A # \$04	2	B604		Accès à (CRA) ₁
STAA (CRA) ₁	3	B7E101		
CLRA	1	4F	Programmation du PIA II servant à l'affichage	
STAA (CRA) ₂	3	B7E105		
LDA A \$FF	2	B600FF		
STAA (DDRA) ₂	3	B7E104		
LDA A # \$04	2	B604		
STAA (CRA) ₂	3	B7E105		
CLRA	1	4F	Validation des afficheurs	
STAA (CRB) ₂	3	B7E107		
LDA A # \$7F	2	B6007F		
STAA (DDRB) ₂	3	B7E106		
LDA A # \$04	2	B604		
STAA (CRB) ₂	3	B7E107		
SEI	1	0F	Traitement des valeurs introduites Masque d'interruption. chargement de X par la valeur de I ₁ Appel du sous programme E de	
GP LDR \$003D	3	7F0027		
GP JSR E	3	BDFBAE		
LDR	2	7E0027		
GT LDA B 0,X	3	F600		temporisation PH
BEQ DL	2	270D		
INX	1	08		
INX	1	08		
LDA B 0,X	3	F600		
STAB (ORA) ₁	3	F7E100		Affichage de la valeur
LDA B # \$08	2	C608		
STAB (ORA) ₂	3	F7E104		
DL LDA A \$0029	3	B60029		
JSR F	3	BDFBDF		
DEX	1	09		
DEX	1	09		
TST 0,X	3	7D00	Test du signe de la valeur	
BEQ TA	2	2742		
STAA \$20	3	B70020		
INX	1	08		
INX	1	08		
TST 0,X	3	7D00	Test du signe de la valeur qui suit.	
BEQ DE	2	270E		
INX	1	08		
LDAB 0,X	3	F600		

Assembleur mém.	#	code opé- ration	commentaires
DEX	1	09	
DEX	1	09	
LDA A 0,X	3	B6 00	
CBA	1	11	comparaison entre les 2 valeurs
BHI VT	2	22	
JSR K	3	BDFC85	Appel sous programme K
DEX	1	09	
LDA A 0,X	3	B6 00	
xy DEC A	1	4A	
JSR D	3	BDFB54	
STA B \$0020	3	F70020	chargement de l'accumulateur
35 LDA B \$0037	3	F60037	B de la valeur Dp
JSR H	3	BDFC3C	
TAB	1	16	
JSR I	3	BDFC4A	
BHI TK	2	22	
INC \$0017	3	7C0017	
BRA BS	2	20EF	
*KTST 0,X	3	7D 00	Test sur le signe plus de
BEQ YX	2	27 02	la valeur qui suit
BRA xy	2	20E1	
IX LDA A 0,X	3	B6 00	
JSR J	3	BDFC5C	
A STA A \$0020	3	B7 0020	
INX	1	08	
INX	1	08	
LDA A \$0020	3	B6 0020	
TST 0,X	3	7D 00	Test sur le signe plus de
BEQ UV	2	27 09	la valeur qui suit
DEX	1	09	
LDA A 0X	3	B6 00	
B DEC A	1	4A	Décrémentation de la valeur
JSR D	3	BDFB54	
STA B \$0020	3	F70020	
LDA B \$0033	3	F60033	chargement de l'accumulateur
JSR H	3	BDFC3C	B de la valeur DN
TAB	1	16	
JSR I	3	BDFC4A	Appel sous programme I
BHI LB	2	22 03	
INC \$0017	3	7C0017	
BRA SB	2	20EA	
INX	1	08	
INX	1	08	
TST 0,X	3	7D 00	
BEQ LI	2	27 02	
BRA SB 1	2	20E3	
JSR K	3	BDFC85	Appel sous programme K
INX	1	08	
INX	1	08	

Assembleur mém.	#	code op.	commentaires
LDA B 0,X	3	F6 00	
DEX	1	09	
DEX	1	09	
LDAA 0,X	3	B6 00	
CBA	1	11	
BHI JW	2	22 03	
JSR J	3	BDFC5C	
JW DECA	1	4A	
JSR D	3	BDFB54	Appel sous programme D permet
STAB \$0020	3	F70020	tant la conversion bin-BCD
WO LDA B \$0032	3	F60032	chargement de l'accumulateur
JSR H	3	BDFC3C	B du signe de DN
TAB	1	16	
JSR I	3	BDFC4A	
BHI VT	2	22 0D	
INC \$0017	3	7C 0017	
BRA WO	2	20 EF	
LDA B \$0020	3	F60020	
CBA	1	11	
BEQ VT	2	27 02	
BRA JW	2	20 E0	
KT DEC \$0001	3	7A 0001	Décrémentaton de la case mémoire
BEQ FIN	2	27 25	contenant le nombre de valeurs
JMP GP	3	7E	introduits et branchement à
VT DECA	1	4A	FIN si cette case arrive à la
JSR D	3	BDFB54	valeur zéro.
STAB \$0020	3	F70020	
SB ₁ LDA B \$0037	3	F60037	
JSR H	3	BDFC3C	
TAB	1	16	
JSR I	3	BDFC4A	Appel sous programme I permettant
BHI IT	2	22 05	l'envoi de la valeur vers le CNA.
INC \$0017	3	7C 0017	
BRA SB ₂	2	20 EF	
IT INX	1	08	
INX	1	08	
LDA B 0,X	3	F6 00	
CBA	1	11	
BEQ VT	2	27 E0	
BRA KT	2	20 DE	
FIN LDA A # \$8E	2	86 8E	Affichage de la lettre F pour
STA A \$(ORA) ₂	3	B7E104	indiquer la fin du déroule
LDA B # \$03	2	C603	ment du programme et cela
STAB \$(ORB) ₂	3	F7E106	d'une façon continue jusqu'à
BRA FIN	2	20 0C	initialisation.

Assembleur mems	#	code op.	commentaires
DPSHA	1	36	Sous programme D [conversion binaire - BCD
STX \$0028	3	FF0030	
LDA B # \$64	2	C6 64	chargement de B par le code représentant la valeur zero.
CMP B \$0028	3	F10028	
BLS AF	2	23 3E	
LDA B # \$FC	2	C6 FC	
STA B \$0014	3	F70014	
KMCLR A	1	4F	
ASL \$0028	3	780028	conversion en 7 bits avec $T_1 < 100$
BCC K_{P_1}	2	24 02	si $b_6 = 1 \Rightarrow$ addition avec la valeur \$64 = 2^6
ADDA # \$64	2	8B 64	
K_{P_1} ASL \$0028	3	780028	si $b_5 = 1 \Rightarrow$ addition. \$32 = 2^5
BCC K_{P_2}	2	24 02	
ADDA # \$32	2	8B 32	si $b_4 = 1 \Rightarrow$ additioner \$16 = 2^4 avec ajustement décimal pour avoir le résultat en BCD
K_{P_2} ASL \$0028	3	780028	
BCC K_{P_3}	2	24 03	si $b_3 = 1 \Rightarrow$ additioner \$8 = 2^3 avec ajustement décimal.
ADDA # \$16	2	8B 16	
DAA	1	19	si $b_2 = 1 \Rightarrow$ additioner \$4 = 2^2 ajustement décimal.
K_B ASL \$0028	3	780028	
BCC K_{P_4}	2	24 03	si $b_1 = 1 \Rightarrow$ additioner \$2 = 2^1 ajustement décimal.
ADDA # \$8	2	8B 08	
DAA	1	19	si $b_0 = 1 \Rightarrow$ additioner \$1 = 2^0 ajustement décimal.
K_{P_4} ASL \$0028	3	780028	
BCC K_{P_5}	2	24 03	on fait une soustraction pour rendre $T_1 < 100$
ADDA # \$4	2	8B 04	
DAA	1	19	chargement de B par le code représentant la valeur 1_{10}
K_{P_5} ASL \$0028	3	780028	
BCC K_{P_6}	2	24 03	obtention des 4 bits inférieurs
ADDA # \$2	2	8B 02	
DAA	1	19	
K_{P_6} ASL \$0028	3	780028	
BCC KB	2	24 13	
ADDA # \$1	2	8B 01	
DAA	1	19	
BRA KB	2	20 0E	
AF LDA A \$0028	3	B6 0028	
SBA	1	10	
STA A \$0028	3	B70028	
LDA B # \$60	2	C6 60	
STA B \$0014	3	F70014	
BRA KM	2	20 B9	
K_B LDA B # \$0F	2	C6 0F	
STAB \$002E	3	F7002E	
TAB	1	16	
ANDB \$002E	3	F4002E	
STAB \$002E	3	E3002E	
LDA B # \$F0	2	C6 F0	
STAB \$002E	3	F7002F	

Assembleur mém.	#	code op.	commentaires	
TAB	1	16	obtention des 4 bits supérieurs	
AND B \$002F	3	F4002F		
STAB \$002F	3	F7002F	Recherche du code du digit représentant les unités. Le code est tiré de la table (TAB) ₂	
LDA A \$002E	3	B6002E		
CLR \$FDFE	3	7FFDFE		
LDX \$FDFE	3	FEFDFE		
MJ CMA 0,X	3	B100		
BEQ LS	2	2704		
INX	1	08		
DECA	1	4A		
BRA MJ	2	20F7		
LS LDA B 0,X	3	F600		Recherche du code du digit représentant les dizaines.
STAB \$0016	3	F70016		
LDA A \$002F	3	B6002F		
LDX \$FDFE	3	FEFDFE		
MN CMA 0,X	3	B100		
BEQ TM	2	2704		
INX	1	08		
DECA	1	4A		
BRA MN	2	20F7		
TM LDA B 0,X	3	F600	Affichage de la valeur	
STAB \$0015	3	B60015		
LDA B \$0014	3	200014		
STA B (ORA) ₂	3	B6E104		
LDA B #\$03	2	C603		
STAB (ORB) ₂	3	B6E106		
LDA B \$0015	3	200015		
STAB \$(ORA) ₂	3	B6E104		
LDA B #\$05	2	C605		
STAB (ORB) ₂	3	B6E106		
LDA B \$0016	3	200016		
STAB (ORA) ₂	3	B6E104		
LDA B #\$06	2	C606		
STAB (ORB) ₂	3	B6E106		
LDX \$0028	3	FE0030		
RTCA	1	32	Retour du sous programme	
RTS	1	39		
E STX \$0028	3	FF0030	Sous programme E [tempori- sation PH sauvegarde de l'index dans la case mémoire \$0028	
LDX #\$5D	2	CE005D		
STX \$05	3	FF0005		
LDA B \$06	3	F60006		
STA B \$23	3	F70023		
LDA B \$31	3	F60031		
STAB \$24	3	F70024		
JSR MPY	3	BDACD3		
LDA B \$27	3	F60027		
STAB \$07	3	F70007		
				chargement de B par la valeur PH
				Appel sous programme de la multiplication.

Assembleur mém.	#	code op.	commentaires		
LDA B \$26	3	F60026	chargement de l'index par le résultat de PH x 5D		
STA B \$08	3	F70008			
LDX \$07	3	FE0007			
BLDAA # \$FF	2	86FF			
RLDAB # \$FF	2	C6FF			
PSHA	1	35		sauvegarde des accumulateurs dans la pile	
PSHB	1	37			
JSR D	3	BDFCD3			
RTS	1	38			
PULB	1	33		Sous programme F	
PULA	1	32			
DEC B	1	5A			
BNE SI	2	26 06	Décommentation des différents registres utilisés dans la boucle de temporisation PH		
DEC A	1	4A			
BNE BR	2	26 08			
DEX	1	09			
BNE RB	2	26 0A			
JSR IS	3	BDFCD2			
BRA WW	2	20 08			
JSR RR	3	BDFCC9			
BRA WW	2	20 03			
JSR BB	3	BDFCL6			
JSR GT	3	BDFAB6			
RTS	1	39			
STX \$28	3	FF0028			Sous programme G (temporisation Pb)
LDX # \$5D	2	CE005D			
STX \$05	3	FF0005			
LDA B \$35	3	F60031		chargement de l'acc. B par la valeur de Pb.	
STA B \$24	3	F70024			
LDA B \$06	3	F60006	Appel s/programme de la multiplication		
STA B \$23	3	F70023			
JSR MPY	3	BDFCD3			
LDA B \$27	3	F60027			
STA B \$07	3	F70007	chargement de l'index par le résultat Pb x 5D		
LDA B \$26	3	F60026			
STA B \$08	3	F70008			
LDX \$07	3	FE0007			
BLDAA # \$FF	2	86FF			
RLDAB # \$FF	2	C6FF			
PSHA	1	36			
PSHB	1	37			
JSR D	3	BDFBS4	Appel s/programme D de la conversion bin-BCD et affichage.		
RTS	1	39			

Assembleur mém.	#	code op.	commentaires
H STAB \$23 LDAB \$17 STAB \$24 JSR MPY RTS	3 3 3 3 1	F70023 F60017 F70024 BDFC03 39	Sous programme H
I TXS LDX # \$FFFF STAB (ORA) ₂ Lp DEX BNE Lp LDAB # \$64 CMPB \$26 TSX RTS	1 3 3 1 2 2 3 1 1	35 CE F7E100 09 26 FD E664 F10026 30 39	Sous programme I [Envoie des valeurs vers le CNA et donne la période d'échantillonnage.
J INCA JSR D STAB \$20 LDAB \$37 JSR H TAB JSR I BHI GI INC \$0017 BRA ZDI GI LDA A 0,X INX INX LDAB 0,X CBA BEQ VN BRA J W JMP VT RTS	1 3 3 3 3 1 3 2 3 2 3 1 1 3 1 2 2 3 1	4C BDFB54 F70020 F60037 BDFC3C 16 BDFC4A 22 05 7C 0017 20 EF B6 00 08 08 F6 00 11 27 02 20 DB 7E 59	Sous programme J chargement de l'acc. DP transfert de (A) dans (B) comparaison entre les 2 valeurs
K INCA JSR D STAB \$20 LDAB \$33 JSR H TAB JSR I BHI TL INC \$17 BRA LG TL LDA A 0,X	1 3 3 3 3 1 3 2 3 2 3	4C BDFB54 F7 F60033 BDFC3C 16 BDFC4A 22 05 7C 0017 20 EF B6 00	Sous programme K chargement de l'acc. B par DN

Assembleur m _{em} .	≠	code op.	commentaires
INX	1	08	
INX	1	09	
LDA B 0,X	3	F6 00	
CBA	1	11	
BEQ TZ	2	27 02	
BRA K	2	20 DB	
TZ LDA B ≠ \$A0	2	C6 A0	Comparer le contenu de l'acc. A avec la valeur 160 ₂ .
CBA	1	11	
BEQ KZ	2	27 02	
BRA VL	2	20 1E	
KZ JSR G	3	BDFBFC	
LDX \$38	3	FE 0038	chargement de l'index de la valeur de la température.
LDA B 0,X	3	F6	
BEQ LO	2	27 0B	
INX	1	08	
INX	1	09	
LDA B 0,X	3	F6 00	
STAB (ORA) ₁	3	FF E100	
LDA B ≠ \$08	2	C6 08	Envoi du bit de signe → vers l'(ORA) ₂
STAB \$ (ORA) ₂	3	FF E104	
LO LDA A \$29	3	B6 0029	
JSR F	3	BDFB0F	
VL JMP VT	3	7E	
RTS	1	39	
PSH A	1	36	
PSH B	1	37	
LDA B ≠ \$08	2	C6 08	
STA B \$25	3	FF 0025	
CLR \$26	3	7F 0026	
CLR \$27	3	7F 0027	
SL ASL \$26	3	7B 0026	
ROL \$27	3	79 0027	
ASL \$24	3	78 0024	
BCC ST	2	24 11	Branchement si le carry est à zéro
LDA A \$26	3	B6 0026	
ADDA \$23	3	B5 0023	
STA A \$26	3	B7 0026	
LDA B ≠ \$00	2	C6 00	
ADC B \$27	3	F9 0027	
STAB \$27	3	F7 0027	
ST DEC \$25	3	4A 0025	
BGT SL	2	2E EB	
PUL B	1	33	
PUL A	1	32	
RTS	1	39	

Adresse	contenu	Adresse	contenu
0001	compteur [nbre de valeurs introduites]	0029	contenu de la boucle de temporisation
0002	compteur [nbre de chiffres introduits]	002E	4 bits inférieurs
0003	0	002F	4 bits supérieurs
0006	5D	0030	signe de PH.
0010	0	0031	PH
0011	MAH = \$ 0030	0032	signe de DN
0012	0	0033	DN
0013	MAH = \$ 0014	0034	signe de PB
0017	1	0035	PB
0018	\$ A	0036	signe DP
0019	Dizaines	0037	DP
001A	Unités	0038	signe de la 1 ^{re} valeur
001C	0	0039	1 ^{re} valeur
001D	contenu ML du registre d'index	003A	signe de la 2 ^{de} valeur
0023	Multiplieande	003B	2 ^{de} valeur
0024	Multiplieateur	⋮	⋮
0025	compteur (nbre de bits)		
0026	Produit LSB		
0027	Produit MSB		
0014	code du premier digit à afficher		
0015	code du deuxième digit à afficher		
0016	code du troisième digit à afficher		

RAM 2
Fond de la pile \$ 57F

Tableau 3.

Contenu de la RAM 1

PIA I		PIA II	
Registre	Adresse	Registre	Adresse
ORA ₁ ou DDRA ₁	E100	ORA ₂ ou DDRA ₂	E104
CRA ₁	E101	CRA ₂	E105
ORB ₁ ou DDRB ₁	E102	ORB ₂ ou DDRB ₂	E106
CRB ₁	E103	CRB ₂	E107

Adressage des P.I.A.
Tableau 4.1

TAB 1	FDDC FDE8
TAB 2	FE00 FE09

Tables chargées en
EPROM
Tableau 4.2

S/progr mmC	Adresse
D	FB54
E	FBAE
F	FBDf
G	FBFC
H	FC3C
I	FC4A
J	FC5C
K	FC85
MPY	FCD3

Adresses des
sous programme
Tableau 4.3.

Interrupt	Adresse	Cont. enu	Fonction
RESET	FFFE	F8	origine du programme
	FFFF	00	
IRQ	FFF8	F8	sous program- me de lecture du clavier
	FFF9	40	

Vecteurs d'interruptions
chargés en EPROM
Tableau 4.4

- * TAB 1: Table de reconnaissance des touches du clavier
- * TAB 2: Table de décodage de l'affichage.

Remarques sur la programmation:

- Le programme de gestion du clavier comporte une demande d'interruption masquable (IRQ). Après la prise en compte de cette dernière, le microprocesseur sauvegarde le contenu de ses registres internes dans la pile. Le sous programme d'interruption ne se terminant pas par l'instruction "RTI" (Retour à l'interruption), la restitution du contexte n'a pas lieu. Pour éviter une occupation inutile de l'espace mémoire RAM, on réinitialise le pointeur de pile avant chaque interruption, en le chargeant avec l'adresse du Fond de la pile qui est: \$057F; ceci se fait avec l'instruction: LDS # \$057F.

- L'EPROM étant adressée de F800 à FFFF

(Voir chapitre carte mémoire) nous avons placé l'origine du programme (ORG) en F800. Une réinitialisation du système (RESET) ramènera à F800 le compteur ordinal. Le contenu des positions mémoire FFFE et FFFF sera donc: (F8) dans FFFE et (00) dans FFFF.

- L'adresse du sous programme d'interruption est en F840. D'où les vecteurs d'interruption de IRQ: (F8) dans FFF8 et (40) dans FFF9.

- La phase d'initialisation se termine par l'instruction "SEI" qui positionne le masque d'interruption. Ainsi pendant le traitement le système est protégé contre tout appui accidentel sur une touche.

CHAPITRE

5

CARTE MEMOIRE

Introduction :

Avec un code de 16 bits, la CPU peut sélectionner un nombre total d'adresses égal à 65535, En hexadécimal, ces adresses varient de 0000 à FFFF. (voir fig 5.2).

1A - Mémoire Centrale :

La mémoire centrale du microsysteme se compose de deux parties principales, un champ de mémoire vive (RAM) pour recevoir des informations variables et un champ de mémoire morte EPROM dans lequel sont stockés les programmes de traitement et d'exploitation.

1B - Mémoires Vives :

Nous avons utilisé 2 RAM MC 6810A de 128 bytes chacune servant de mémoires "bloc notes" et 1 RAM MC 6810A de 128 octets dans laquelle, on va loger la pile. Elles sont adressées respectivement de 0000 à 00FF et de 0080 à 00FF et de E080 à E0FF.

1C - Mémoires Mortes :

Nous avons utilisé une EPROM type MCM 2716 d'une capacité de 2K bytes. Dans ce dernier sont stockés les différents programmes de traitements et d'exploitation, elle est adressée de F800 à FFFF.

2. Interface :

Nous avons utilisé 2 PIA MC 6821; le premier est adressé de E100 à E103, son port A est utilisé pour la restitution du signal de commande au CNA, son port B est relié directement au clavier. Le 2^{ème} PIA est adressé de E104 à E107, son port A est relié aux afficheurs, alors que son port B est utilisé pour la validation des afficheurs et le bit de signe.

3. Modes d'adressage des Mémoires :

Lorsque la CPU place une adresse de 16 bits sur le bus d'adressage, elle ne doit activer qu'une mémoire ou un périphérique. Il existe deux modes d'adressage :

- Par sélection linéaire.
- Par décodage complet du bus d'adresse au moyen de portes, de decodeurs ou de réseaux logiques programmables PLA. Dans notre cas, nous avons utilisé une sélection linéaire d'adresse compatible avec les systèmes dont l'espace mémoire est très inférieur à 64 K. Les constructeurs ont prévu à cet effet des entrées de sélection CHIP SELECT (CS) ou CHIP ENABLE (CE) sur les boîtiers RAM, EPROM, PIA etc... Ce sont ces entrées qui commandent l'état haute impédance des sorties tant qu'elles n'ont pas reçu la bonne configuration. Pour notre système, la table d'implantation des adresses réservées à chaque circuit est donnée par la figure 5.1.

4. Décodage des Mémoires :

En se référant à la table d'implantation des adresses une première division de l'espace mémoire apparaît :

Lorsque $A_{12} = 1$ seule l'EPROM est sélectionnée

Lorsque $A_{12} = 0$ les autres boîtiers PIA, RAM le sont

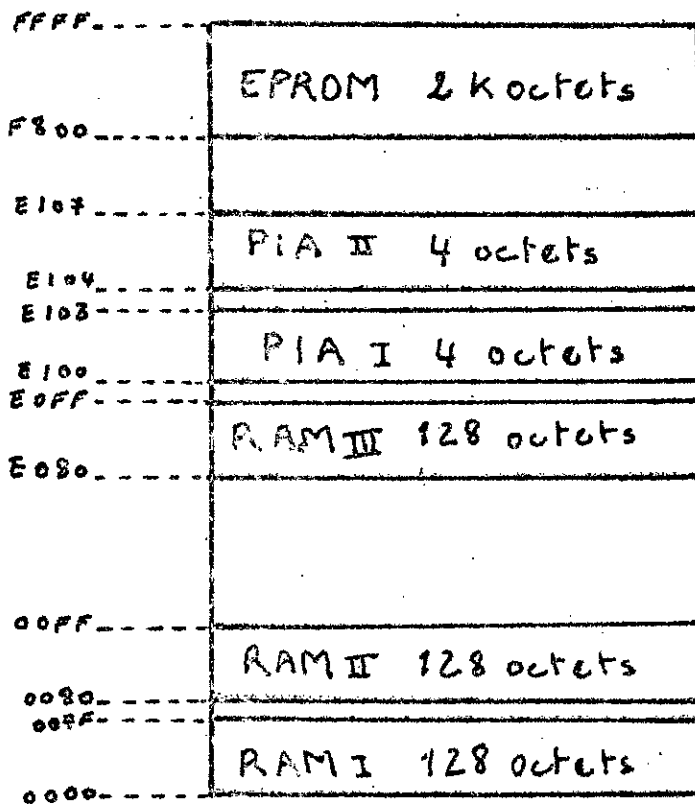
Dans ce dernier sous ensemble la ligne A_8 permet de séparer le bloc ($RAM_I, RAM_{II}, RAM_{III}$) du bloc (PIA_I, PIA_{II}). En effet lorsque $A_8 = 0$, une RAM est sélectionnée et lorsque $A_8 = 1$ les PIA sont sélectionnés.

Circuits	Adresses	A ₁₅	A ₁₄	A ₁₃	A ₁₂	A ₁₁	A ₁₀	A ₉	A ₈	A ₇	A ₆	A ₅	A ₄	A ₃	A ₂	A ₁	A ₀
RAM I	0000 007F	0	0	0	0	0	0	0	0	0	X	X	X	X	X	X	X
RAM II	0080 00FF	0	0	0	0	0	0	0	1	X	X	X	X	X	X	X	X
RAM III	E080 E0FF	1	1	1	0	0	0	0	1	X	X	X	X	X	X	X	X
PIA I	E100 E103	1	1	1	0	0	0	0	1	0	0	0	0	0	0	X	X
PIA II	E104 E107	1	1	1	0	0	0	0	1	0	0	0	0	0	1	X	X
EPR0M	F800 FFFF	1	1	1	1	1	X	X	X	X	X	X	X	X	X	X	X

x: Indifférent (non décodé)

Table des adresses du plan mémoire

Tab 5.1.



Tab 5.2

Organisation mémoire

La RAM_I est distingué des RAM_{II}, RAM_{III} par la ligne A₇

A₇ = 0 seule RAM_I est selectée.

A₇ = 1 RAM_{II}, RAM_{III} le sont.

La RAM_{II} est distingué de la RAM_{III} par la ligne A₁₄

A₁₄ = 0 RAM_{II} est selectée.

A₁₄ = 1 RAM_{III} l'est.

Les PIA_I et II sont différenciés par la ligne A₂.

A₂ = 0 PIA_I selecté

A₂ = 1 PIA_{II} selecté

De ce qui précède, nous pouvons déduire que les signaux de selections des boitiers sont les suivants :

EPR0M : S = A₁₂

RAM_I : S = $\overline{A_{12}} \overline{A_8} \overline{A_7} \overline{A_{14}}$

RAM_{II} : S = $\overline{A_{12}} \overline{A_8} A_7 \overline{A_{14}}$

RAM_{III} : S = $\overline{A_{12}} \overline{A_8} A_7 A_{14}$

PIA_I : S = $\overline{A_{12}} A_8 \overline{A_7} A_{14} \overline{A_2}$

PIA_{II} : S = $\overline{A_{12}} A_8 \overline{A_7} A_{14} A_2$

• 1 Décodage des RAM :

La RAM MC 6810 est une mémoire vive statique. Elle est organisée en une matrice de 128 mots de 8 bits et possède 6 entrées de selection CS, dont 4 sont activées par un niveau bas et 2 par un niveau haut. Elle possède 7 entrées adresse qui recevront les lignes A₀ - A₆.

Les 'CS' recevront la configuration nécessaire à l'adressage physique du boitier. La première RAM adressée de 0000 à 007F nécessite pour sa selection l'état lignes suivants :

$$A_{12} = 0, A_8 = 0, A_7 = 0, A_{14} = 0$$

Les signaux d'activation du boîtier seront :

$\overline{A_{12}} \cdot \overline{VMA}$	vers $\overline{CS1}$;	$\overline{\phi_2}$ (TTL)	vers $\overline{CS0}$
$A_{15} \cdot A_7$	vers $\overline{CS2}$		$A_{13} \cdot A_8$	vers $\overline{CS3}$
$A_{11} \cdot A_{14}$	vers $\overline{CS4}$		$A_9 \cdot A_{10}$	vers $\overline{CS5}$

voir figure 5.1

La deuxième RAM adressée de 0080 à 00FF nécessite pour sa sélection $A_{12} = 0, A_8 = 0, A_7 = 1, A_{14} = 0$

d'où les signaux d'activation de boîtier :

$\overline{A_{12}} \cdot \overline{VMA}$	vers $\overline{CS1}$	$\overline{\phi_2}$ (TTL)	vers $\overline{CS0}$
$A_9 \cdot A_{10}$	vers $\overline{CS2}$	$A_8 \cdot A_{14}$	vers $\overline{CS4}$
$A_{11} \cdot A_{13}$	vers $\overline{CS5}$	$A_{15} \cdot A_7$	vers $\overline{CS3}$

voir figure 5.2

La troisième RAM adressée de E080 à E0FF nécessite pour sa sélection ; $A_{12} = 0, A_8 = 0, A_7 = 1, A_{14} = 1$
d'où les signaux d'activation de boîtier :

$\overline{A_{12}} \cdot \overline{VMA}$	vers $\overline{CS1}$	$\overline{\phi_2}$ (TTL)	vers $\overline{CS0}$
$A_9 \cdot A_{10}$	vers $\overline{CS2}$	$A_7 \cdot A_{14}$	vers $\overline{CS3}$
$A_8 \cdot A_{11}$	vers $\overline{CS4}$	$A_{13} \cdot A_{15}$	vers $\overline{CS5}$

voir figure 5.3

- Le signal ϕ_2 est utilisé pour synchroniser les transferts sur le bus de données.
- Le signal VMA est utilisé pour la sélection des circuits périphériques en ne validant l'adresse qu'une fois qu'elle est stable.

4.2. Décodage de l'EPROM :

Elle est adressée de F800 à FFFF. L'EPROM MC M2716 est une mémoire morte effaçable aux rayons ultraviolets, reprogrammable et monotension + 5V, c'est dans cette EPROM que sera logé le programme moniteur du système. Elle est caractérisée par 11 lignes d'adresse qui recevront $A_0 - A_{10}$ et par une entrée de validation de boîtier chip enable E. Son décodage se fera donc par $E = A_{12}$ voir figure 5.4

4.3. Décodage des PIA :

Nous utilisons 2 PIA ; chaque PIA dispose de 2 entrées de sélection de registre RS0, RS1 qui recevront respectivement A_0 et A_1 .

Le premier PIA adressé de E100 à E103 sera décodé comme suit : $A_{12} = 0, A_8 = 1, A_7 = 0, A_{14} = 1, A_2 = 0$

$\overline{A_{12}}$	VMA	vers	$\overline{CS2}$
$\overline{A_7}$	A_8	vers	CS1 voir figure 5.5
$\overline{A_2}$	A_{14}	vers	CS0

Le second PIA adressé de E104 à E107 est caractérisé par : $A_{12} = 0; A_8 = 1; A_7 = 0; A_{14} = 1; A_2 = 1$.

Donc :

$\overline{A_{12}}$	VMA	vers	$\overline{CS2}$
$\overline{A_7}$	A_8	vers	CS1 voir figure 5.6
A_{14}	A_2	vers	CS0

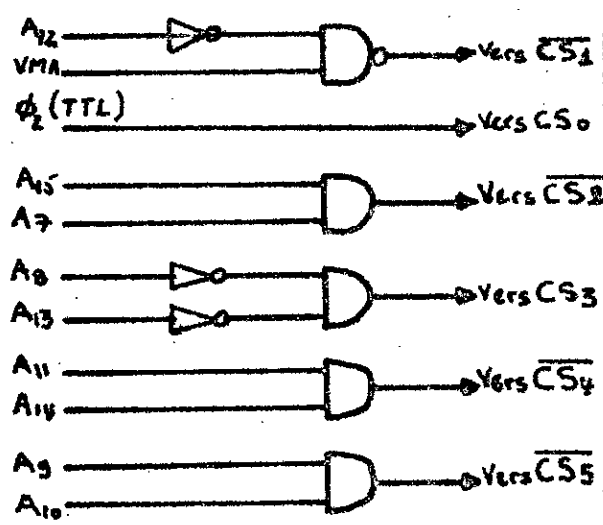


fig. 5.1
Décodage de la RAM I

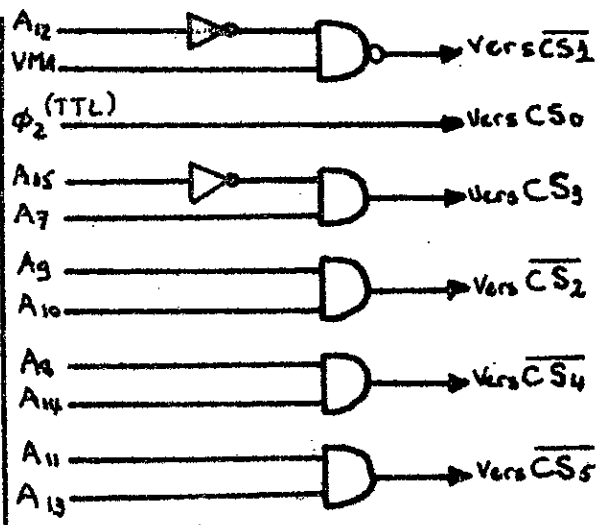


fig. 5.2
Décodage de la RAM II

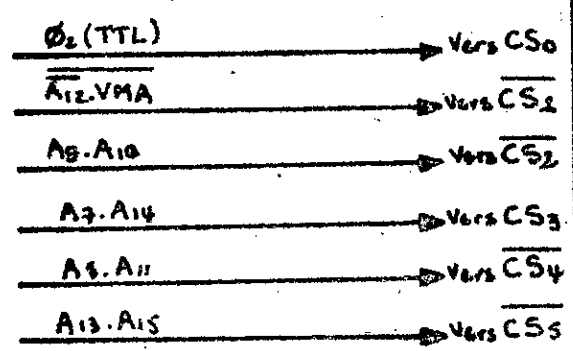


fig. 5.3
Décodage de la RAM III

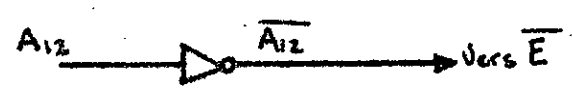


fig. 5.4
Décodage de l'EPROM

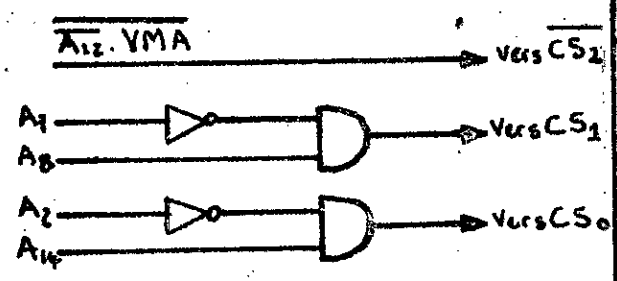


fig. 5.5
Décodage du PIA I

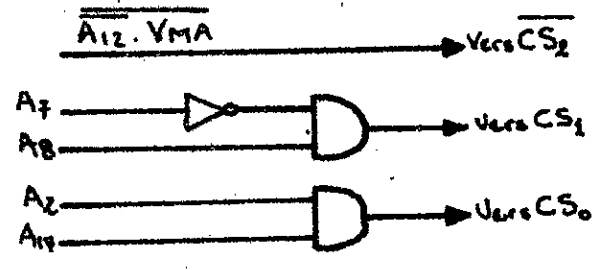


fig. 5.6
Décodage du PIA II

5-Alimentations stabilisées:

L'ensemble alimentation est formé de deux blocs, ces derniers fournissent la puissance nécessaire au fonctionnement des différents éléments constituant le microsysteme.

La majorité des circuits intégrés utilisés sont des monofonctions $+5V$. De ce fait, nous avons prévu une première alimentation délivrant une tension de $5V$ sous $5A$.

La deuxième alimentation dont le schéma est donné fig 6.1.1, permet l'alimentation des circuits nécessitant des niveaux de tension de $\pm 15V$ et assure une intensité de courant de $0,5$ Ampère, elle est construite à la base de deux régulateurs du type 7815 et 7915.

Les sorties du transformateur attaquent un pont redresseur: le M. D. A 942 qui donne en sortie deux tensions redressées, l'une positivement l'autre négativement.

Les deux tensions redressées sont filtrées par deux capacités électrochimiques puis régulées à travers les 2 circuits intégrés régulateurs de tension. Le MC 7815 pour la tension positive et le MC 7915 pour la tension négative.

Le filtrage de la tension de sortie de ces régulateurs est assuré par un condensateur de $0,47 \mu F$.

Calcul du transformateur:

- Calcul de la puissance:

La puissance du transformateur est la somme des puissances des deux enroulements. (voir figure 6.1.2)

$$P = (18 \times 0,5 + 18 \times 0,5) V \cdot A = (9 + 9) V \cdot A = 18 WA.$$

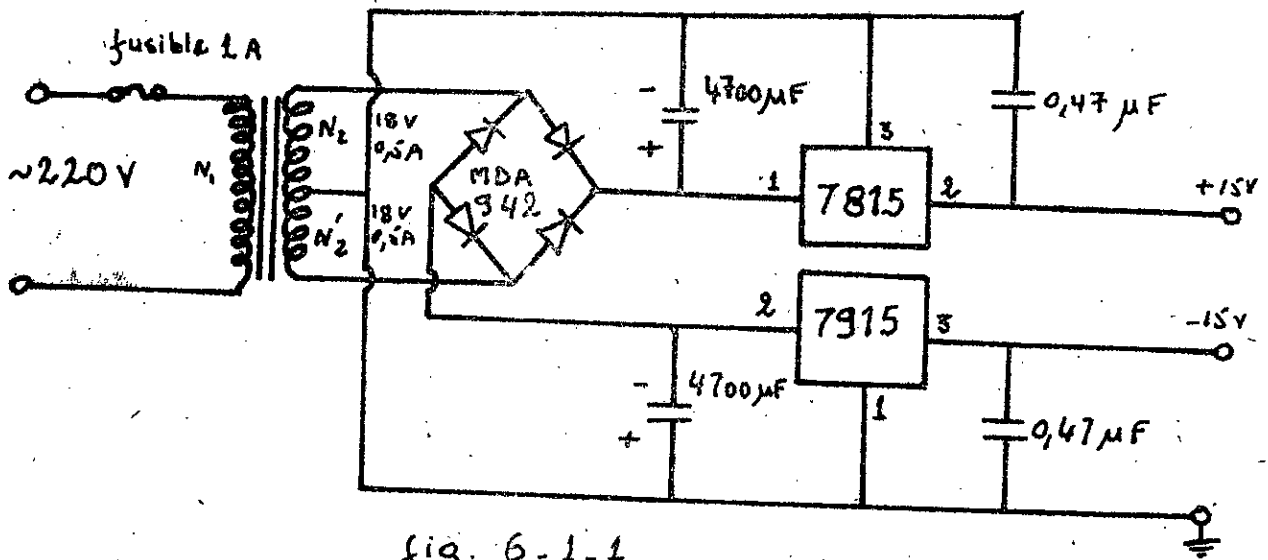


fig. 6-1-1
 Schéma électrique de l'alimentation
 stabilisée

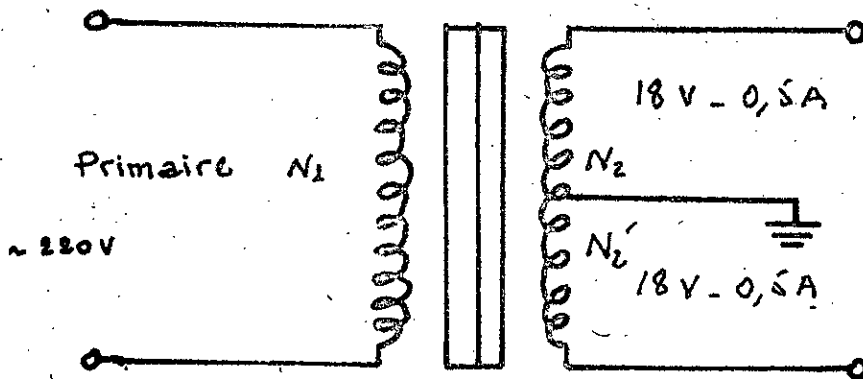


fig. 6-1-2
 Schéma du transformateur

- Caractéristiques du transformateur 35 Q 19 :

Puissance maximale	: 29 W.
Section du Fer	: 2,82 cm ² .
Nombre de spires par volt	: 9,4 spires/volt
Densité de courant	: 5,1 A/mm ² .
Enroulement au primaire	: $VN_1 = 220$ V tens-
ion d'entrée. $N_1 = 220 \times 9,4 = 2068$ spires.	
Courant primaire	: $i_1 = \frac{P}{VN_1} = 81,8$ mA
Section de l'enroulement primaire	: $S_1 = \frac{i_1}{J} = 0,016$ mm ²
Diamètre du fil du primaire	: $d_1 = \left(\frac{4S_1}{\pi}\right)^{\frac{1}{2}} = 0,143$ mm
Enroulement au secondaire	: $VN_2 = VN'_2 = 18$ V.
Nombre de spires au secondaire	: $N_2 = N'_2 = 18 \times 9,4 = 169$ sp
Courant au secondaire	: $i_2 = i'_2 = 0,5$ A.
Section de l'enroulement secondaire	: $S_2 = \frac{i_2}{J} = 0,098$ mm ²
Diamètre du fil du secondaire	: $d_2 = \left(\frac{4S_2}{\pi}\right)^{\frac{1}{2}} = 0,353$ mm
Correction du nombre de spires de l'enroulement secondaire:	
Le coefficient correcteur pour $P = 18$ W est de 11 %	
$N_{2c} = N'_{2c} = N_2 + 11\% N_2 = 188,65$ spires.	

CHAPITRE

6

PRESENTATION

DU

SYSTEME

6. a Notice d'utilisation du programmeur :

Une fois le système mis en marche par action sur l'interrupteur "marche - arrêt", l'utilisateur doit introduire au moyen du clavier, les valeurs correspondantes à PH (durée du palier haut); DN (vitesse de descente); PB (durée du palier bas); DP (vitesse de montée), et les différents paliers correspondants aux différentes valeurs de température dans l'ordre cité.

L'introduction de chaque valeur se fait comme suit :

- Introduction du signe de la valeur "+" ou "-".
- Introduction du chiffre correspondant aux centaines.
- Introduction du chiffre correspondant aux dizaines.
- Introduction du chiffre correspondant aux unités.

La valeur n'est affichée qu'une fois tous les digits composant cette valeur sont introduits. L'affichage dure 3 secondes, le temps que l'utilisateur puisse la vérifier. Une fois l'affichage éteint, la valeur qui suit peut, dans ce cas, être introduite. Une fois l'introduction des valeurs terminée, un appui sur la touche "GO" fait démarrer le programme. En cas d'erreur (Introduction erronée d'un digit, ou le non respect de l'ordre d'introduction des valeurs), un appui sur la touche "RESET" réinitialise le système et dès lors, l'utilisateur sera obligé de réintroduire de nouveau toutes les

valeurs. Pour pouvoir indiquer la fin du programme, le micro-système affiche la lettre F, qui dure tant que le système n'a pas été réinitialisé.

Remarque 1 :

Les valeurs sont introduites en décimal, dans le cas où le chiffre correspondant aux centaines et celui des dizaines ne figure pas dans la valeur, des zéros doivent être introduits à leurs places.

Exemple : soit la valeur $5^{\circ}\text{C}/\text{min}$ correspondant à DN.

Les touches enfoncées pour introduire cette valeur sont :

La touche "+", la touche n° zéro, 2 fois, la touche n° 5.

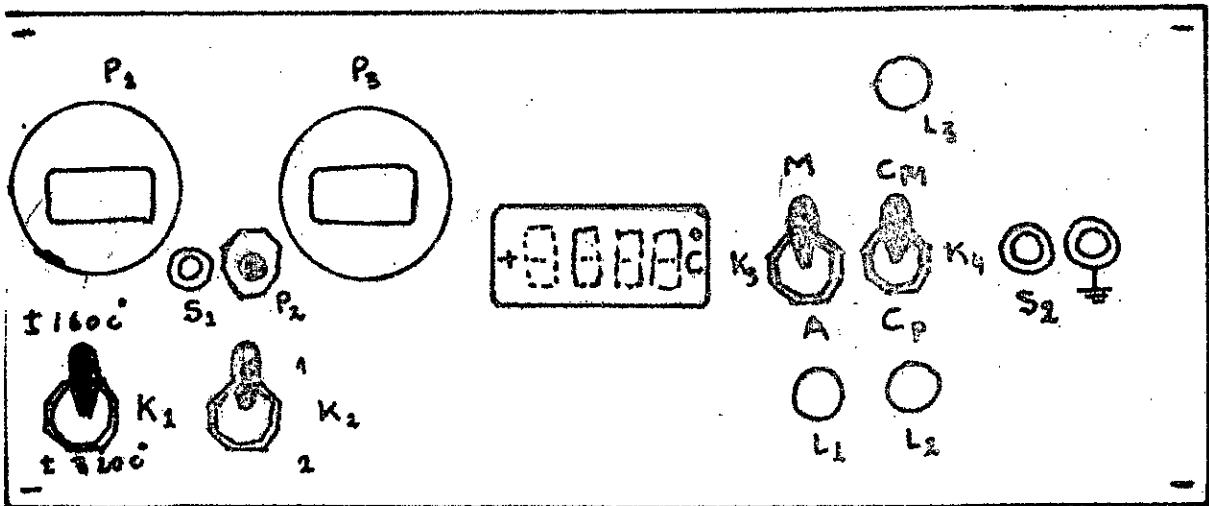
Remarque 2 : Dans le cas où un appui simultané de plusieurs touches se produit, le système affiche un E (erreur).

O. b. Boîtier :

Le régulateur se présentera sous la forme d'un boîtier standard de Norme RACK 19 pouce (Voir fig 6-b)

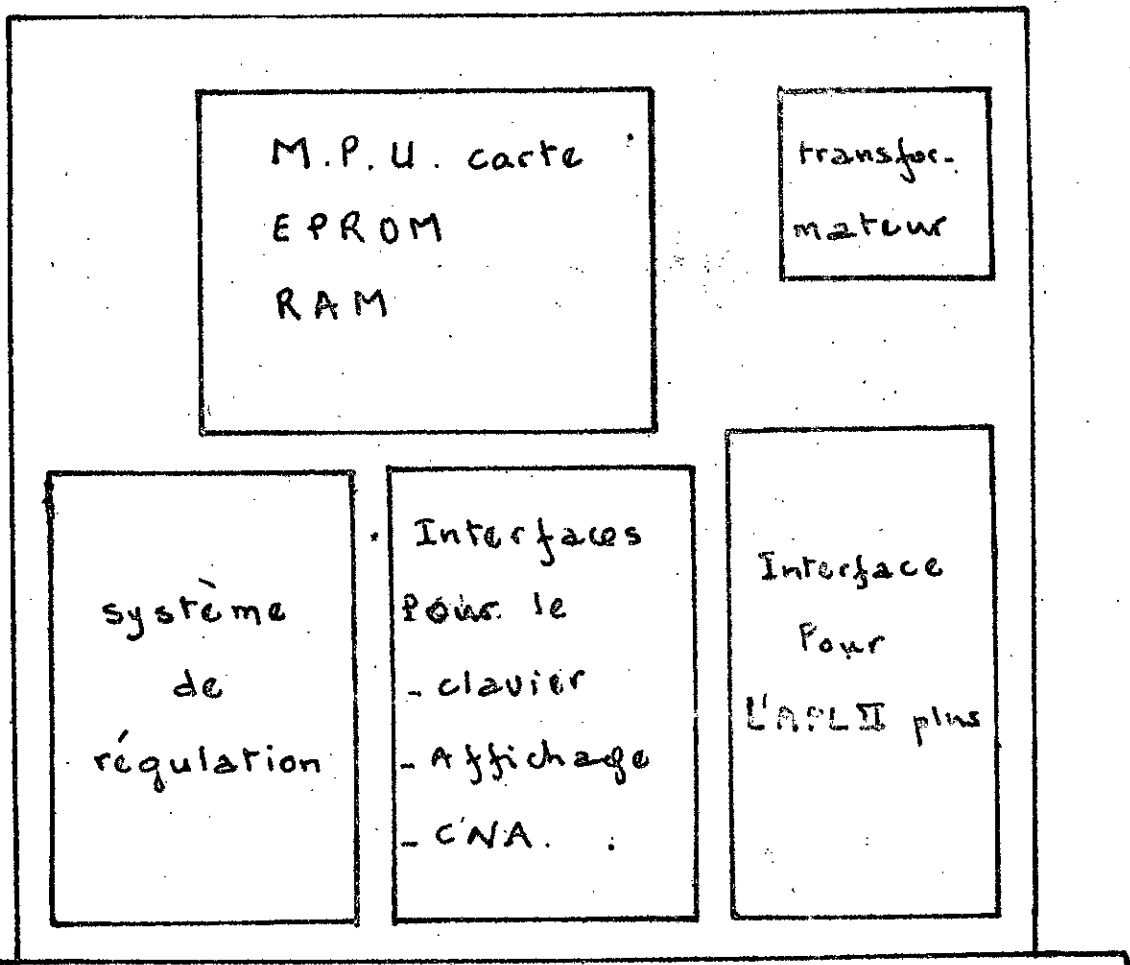
Comportant sur la face avant :

- Un affichage numérique de la température (face avant de la boîte TN 2 AS).
- Un affichage de la valeur de la consigne.
- un interrupteur Marche - Arrêt.
- lampe témoin pour l'alimentation.
- Commutateur K_1 pour le choix de la gamme de température.
- Commutateur K_2 pour le choix de la consigne.



Vue de face

fig. 6.b.1



Vue de dessus

fig. 6.b.2

CHAPITRE

7

AMELIORATION DU

REGULATEUR

7a. But de l'amélioration: 161

Le régulateur faisant partie du système de régulation présente un certain décalage qu'on doit éliminer tous les 2 heures d'utilisation à l'aide du circuit de compensation fig 7.1.

L'amélioration consiste à minimiser le plus possible ce décalage et ainsi éviter ces interventions au niveau du régulateur. Pour cela notons que le régulateur déjà existant utilise le même amplificateur opérationnel pour les 2 actions P et I fig 7.1. Ce qui provoquerait le phénomène d'interaction (influence de l'une des actions sur l'autre), et ainsi diminuerait la précision de la grandeur régulée.

Pour remédier à cela, on a divisé les 2 actions du régulateur PI et relevé la valeur régulée à la sortie d'un sommateur.

7.b. Calcul des éléments:

voir fig 7.2 on a: $\frac{m_1(p)}{\varepsilon(p)} = -\frac{R'}{R_0}$

$$\frac{m_2(p)}{\varepsilon(p)} = -\frac{1}{P_1 C_p}$$

$$V_R(p) = +\frac{R'}{R_0} \varepsilon(p) + \frac{1}{P_1 C_p} \varepsilon(p)$$

$$V_R(p) = \varepsilon(p) \left(\frac{R'}{R_0} + \frac{1}{P_1 C_p} \right)$$

$$\frac{V_R(p)}{E(p)} = \frac{R'}{R_0} \left(1 + \frac{R_0}{P_1 R' C_P} p \right)$$

Par identification avec la relation

$$R(p) = K_P \left(1 + \frac{1}{T_i p} \right)$$

on tire

$$\begin{cases} K_P = \frac{R'}{R_0} \\ T_i = \frac{R' C_P}{R_0} \end{cases}$$

A partir de l'étude de la stabilité on a :

$$4,54 \leq K_P \leq 31,8$$

$$T_i \leq 120 \text{ secondes}$$

On fixe $K_P = 30$.

on choisit

$$\begin{cases} R_0 = 100 \text{ K}\Omega \\ C_1 = 100 \mu\text{F} \\ T_i = 120 \text{ secondes} \end{cases}$$

on déduit $R' = 3 \text{ M}\Omega$

$$P_1 = \frac{T_i \cdot R_0}{R' \cdot C} = 40 \text{ K}\Omega ; R = 30 \text{ K}\Omega$$

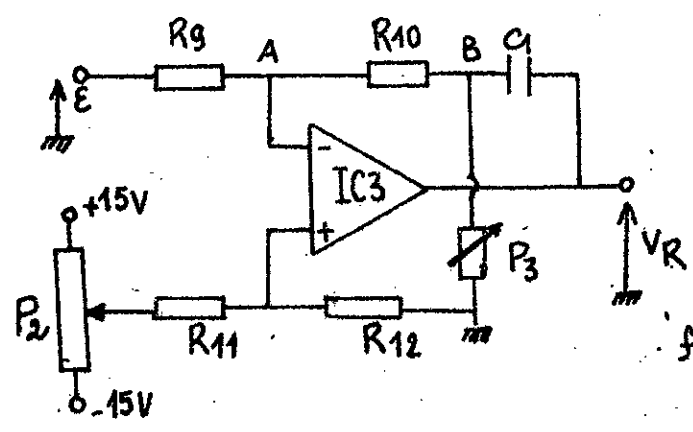


fig 7.1.

Régulateur PI

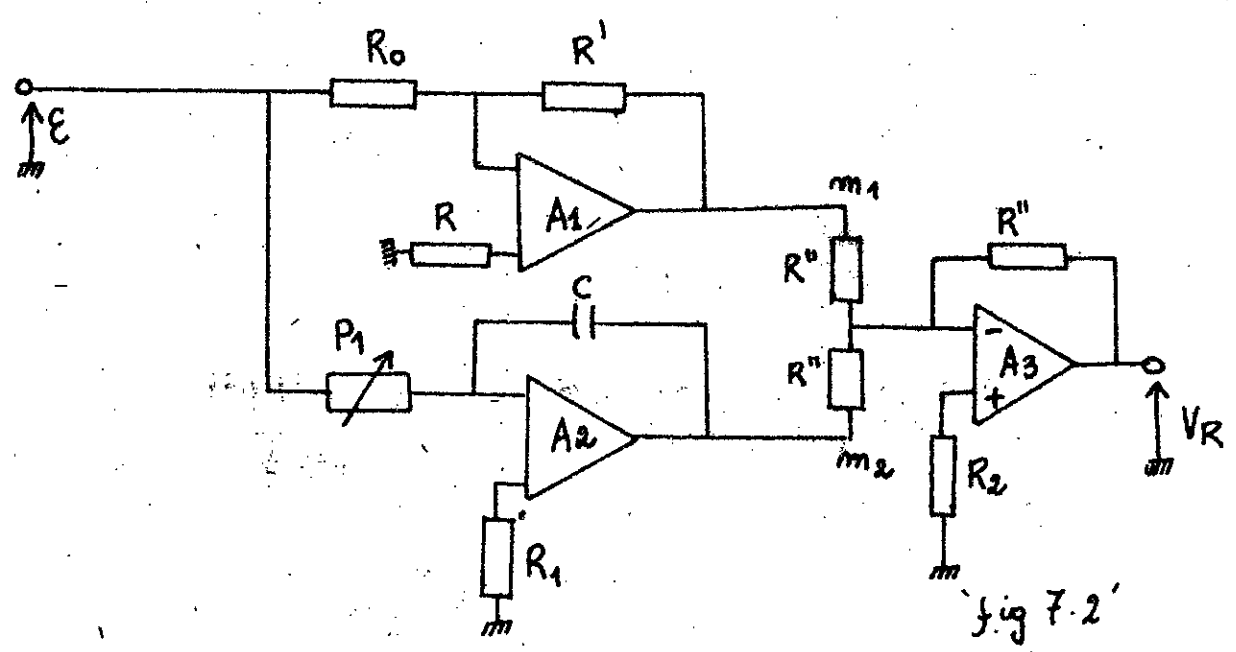


fig 7.2'

Régulateur PI amélioré

CONCLUSION:

L'étude de ce programmateur autonome à partir du microprocesseur MC 6800, présente une solution suffisante pour le transfert des variations de la température sous forme de tensions analogiques.

Notre devoir a été de le réaliser, mais malheureusement, on n'a pas pu le faire par manque de matériel. Néanmoins, toute la partie du logiciel, ne faisant pas intervenir d'interruption a été testée sur le KIT MEK 6802 5E de MOTOROLA.

Eependant, il faut signaler que la capacité du microprocesseur n'est utilisée que partiellement. Pour élargir son exploitation, on peut l'utiliser pour la commande et la régulation en même temps. Ceci demandera en plus du programme déjà élaboré, un programme de régulation et une carte pour la conversion analogique numérique. Ainsi on pourra améliorer les performances de l'automatisation et développer le contrôle optimal qui est pratiquement impossible à réaliser avec un régulateur analogique.

Enfin ce modeste travail nous a été très bénéfique vu qu'il nous a permis de travailler dans le domaine des microprocesseurs et constater les problèmes posés lors d'une telle étude.

ANNEXES

Annexe 1:

Présentation du microprocesseur Motorola 6800 [3]

I. Matériel:

Le MC 6800 est un microprocesseur monolithique 8 bits. Il possède de nombreuses secondes sources ce qui accroit la sécurité d'emploi pour les réalisateurs de système et explique sans doute sa popularité.

Contrairement aux premiers microprocesseurs (1971-1972) qui se réduisaient au seul boîtier d'unité centrale, les microprocesseurs plus récents s'entourent d'une famille de circuits spécialement étudiés pour faciliter la constitution de systèmes complets. Il se présente sous la forme d'un boîtier de 40 broches qui se subdivisent en:

- 8 lignes bidirectionnelles pour le bus de données (D₀ - D₇) servant au transfert de données.
- 16 lignes unidirectionnelles pour le bus d'adresse (A₀ - A₁₅) permettant l'accès à un espace de mémoire de 64 K octets.
- 1 ligne d'alimentation V_{CC} = ± 5V.
- 2 masses
- 11 lignes de contrôle dont :
 1. Signaux de commande:
 - a - RESET: initialise le microprocesseur au moment de la mise sous tension.
 - b - Interrupt Request (IRQ): Le microprocesseur répond à cette ligne en mettant le bit I du registre de condition à "1" et se branche à un sous programme d'interruption.

C. Non Maskable Interrupt (NMI):

Ce signal provoque, lorsqu'il est à 0, un déroutement indépendamment de l'état de bit de masque.

D. HALT: Lorsque cette commande passe à 0, le MPU s'arrête.

E. Three - State Control (TSC): Pour le contrôle des 3 états.

F. Data Bus Enable (DBE): Ce signal à 1 active les émetteurs sur le bus donnée si le MPU déclenche une opération d'écriture dans une mémoire ou un périphérique.

G. Broches d'horloges: ϕ_1 , ϕ_2 pour les 2 phases d'horloges.

2. Signaux d'état du MPU:

a. Valid Memory Address (VMA): Ce signal à 1 indique la validation d'une adresse sur le bus d'adresses et est en logique 3 états.

b. Read / Write (R/W): Le microprocesseur effectue une lecture si $R/W = 1$ et une écriture si $R/W = 0$.

c. BA (Bus Disponible): à l'état haut, elle indique que le microprocesseur est stoppé et donc le bus d'adresse est disponible.

Structure du MC 6800:

Le MC 6800 possède une unité arithmétique et logique, une unité de commande et 6 registres généraux qui sont:

- 2 accumulateurs A et B (8 bits)
- 1 registre d'index X (16 bits)
- 1 compteur de programme PC (16 bits)
- 1 pointeur de pile SP (16 bits)

- 1 registre de condition CC (8 bits)

Et sont des registres adressables dont voici leur utilisation

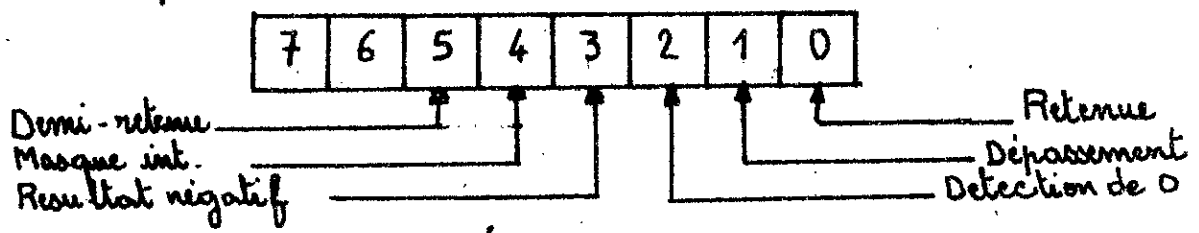
- Les accumulateurs A et B : ou registre de travail, utilisés pour les calculs arithmétiques et logiques ainsi que pour tout transit de données.

- Le registre d'index : Il est principalement utilisé dans le mode d'adresse indexée comme pointeur d'adresse.

- Le pointeur de pile : Il contient constamment la première adresse disponible de la pile qui est située en mémoire vive. Lors de l'exécution de sous programme, ou bien dans le cas d'interruption, le microprocesseur sauvegarde les contenus de ses divers registres dans la pile.

- Registre de condition : chacun de ses 6 premiers bits est affecté à la suite de l'exécution de certaines instructions. Les bits 6 et 7 sont fixés à "1".

Il comporte les indicateurs d'états suivants :



II. Logiciel :

A. Les Modes d'adressage :

Le MC 6800 possède 6 modes d'adressage :

a. Adressage immédiat : Dans l'adressage immédiat, la donnée est contenue dans le mot d'instruction.

b. Adressage implicite et inhérent : Dans l'adressage implicite, on s'adresse implicitement à tel registre, qui sera

lien souvent l'accumulateur. L'adressage inhérent consiste à loger dans le code opération l'adresse du registre à utiliser.

C. Adressage direct : Le mot d'instruction contient l'adresse de la donnée. L'instruction comporte alors deux champs qui sont :

- 1 champ pour le code de l'opération à exécuter.
- 1 champ pour l'adresse où l'on ira chercher la donnée ou encore à laquelle sera rangée.

d. Adressage étendu : Dans ce mode les instructions sont codées sur 3 champs. L'adresse absolue de l'opérande est contenue dans le deuxième et troisième champs de l'instruction. Il permet d'adresser des mémoires comprises entre 0 et 65536.

e. Adressage indirect : Dans ce mode d'adressage, les instructions ont une longueur de deux octets.

L'adresse effective est obtenue, en adressage indirect, en faisant la somme "déplacement" contenu dans l'instruction et d'une adresse contenue dans un registre d'index.

f. Adressage relatif : Il permet d'exécuter des instructions de sauts systématiques ou conditionnels.

Cet adressage se fait sur 8 bits c'est à dire que le saut d'adresse ne peut être que de ± 128 positions autour de l'adresse spécifiée par le compteur ordinal.

Le contenu du deuxième octet de l'instruction est ajouté au contenu du compteur ordinal pour donner l'adresse de Branchement.

B. Le Jeu d'instruction: Le MC 6800 possède 72 types d'instructions. En distinguant les différents modes d'adressages, il a 197 instructions. Elles peuvent être classées par catégories:

a. Instructions agissant sur les indicateurs:

Elles sont au nombre de 8 et servent à:

- mettre à zéro ou à un les indicateurs de retenue, masque d'interruption et overflow (dépassement).
- à transférer le mot d'état des indicateurs dans l'accumulateur ou à le restituer. Le mot d'état est noté "CCR" (Condition code register), l'accumulateur A intervient ici.

b. Opérations arithmétiques: Elle comprennent:

- Additions avec accumulateur A ou B, entre le contenu de l'accumulateur nommé et celui d'une cellule mémoire.
- Addition entre les 2 accumulateurs A et B (ABA)
- Addition avec retenue (ADC), alors que les précédentes étaient sans retenue:

On ajoute le contenu du bit carry aux deux opérandes.

- Complément à 2 (NEG, de negate).
- Ajustage décimal (DAA): il intervient après une opération en BCD pour rectifier le résultat s'il y a lieu, en ajoutant 00, 06, 60, 66 à l'accumulateur selon l'état des indicateurs C et H (retenue).

c. Opérations logiques:

Elles comprennent les AND avec accumulateurs A ou B
Complément à 1 et ou exclusif.

d. Tests de données:

Elles concernent le test des bits (par AND logique), la comparaison, la recherche d'une valeur réelle ou négative et portent sur les contenus des accumulateurs A ou B ou des cellules mémoires.

e. Mouvements sur les données:

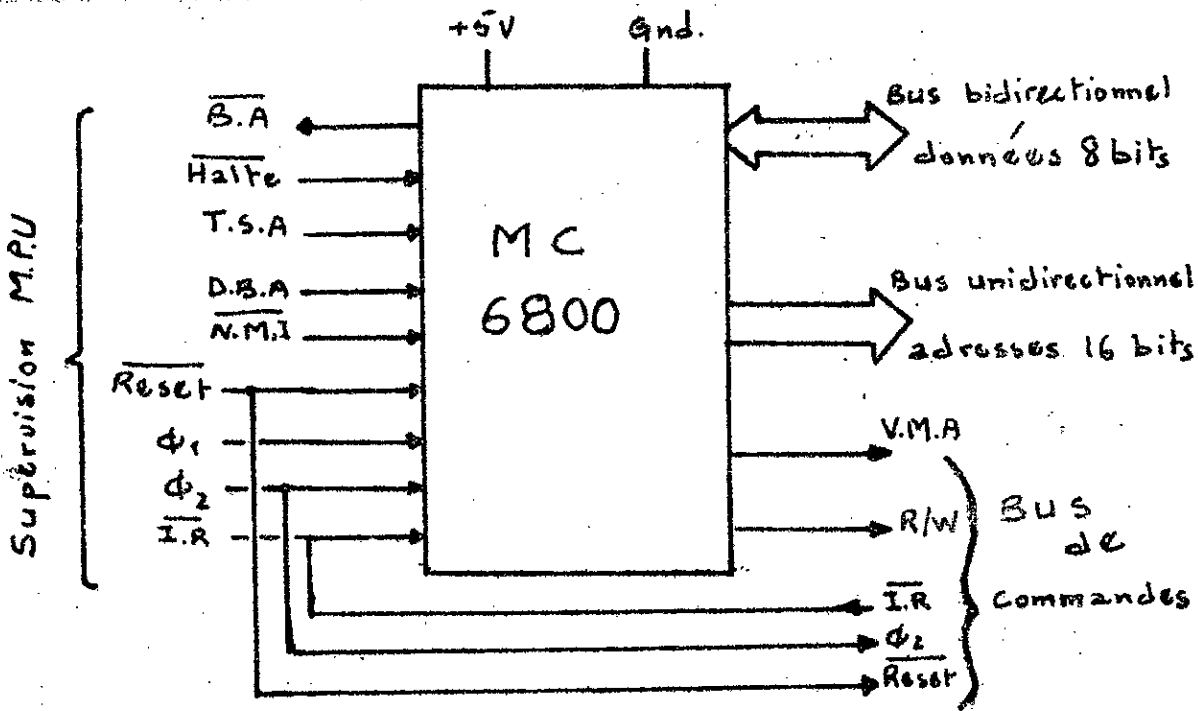
- Instructions de transfert du contenu des registres vers la mémoire.
- Instructions de transfert d'un registre à un autre.
- Instructions de transfert vers la pile ou vice versa.
- Les décalages et les rotations.

f. Registre d'Index et pointeur de pile:

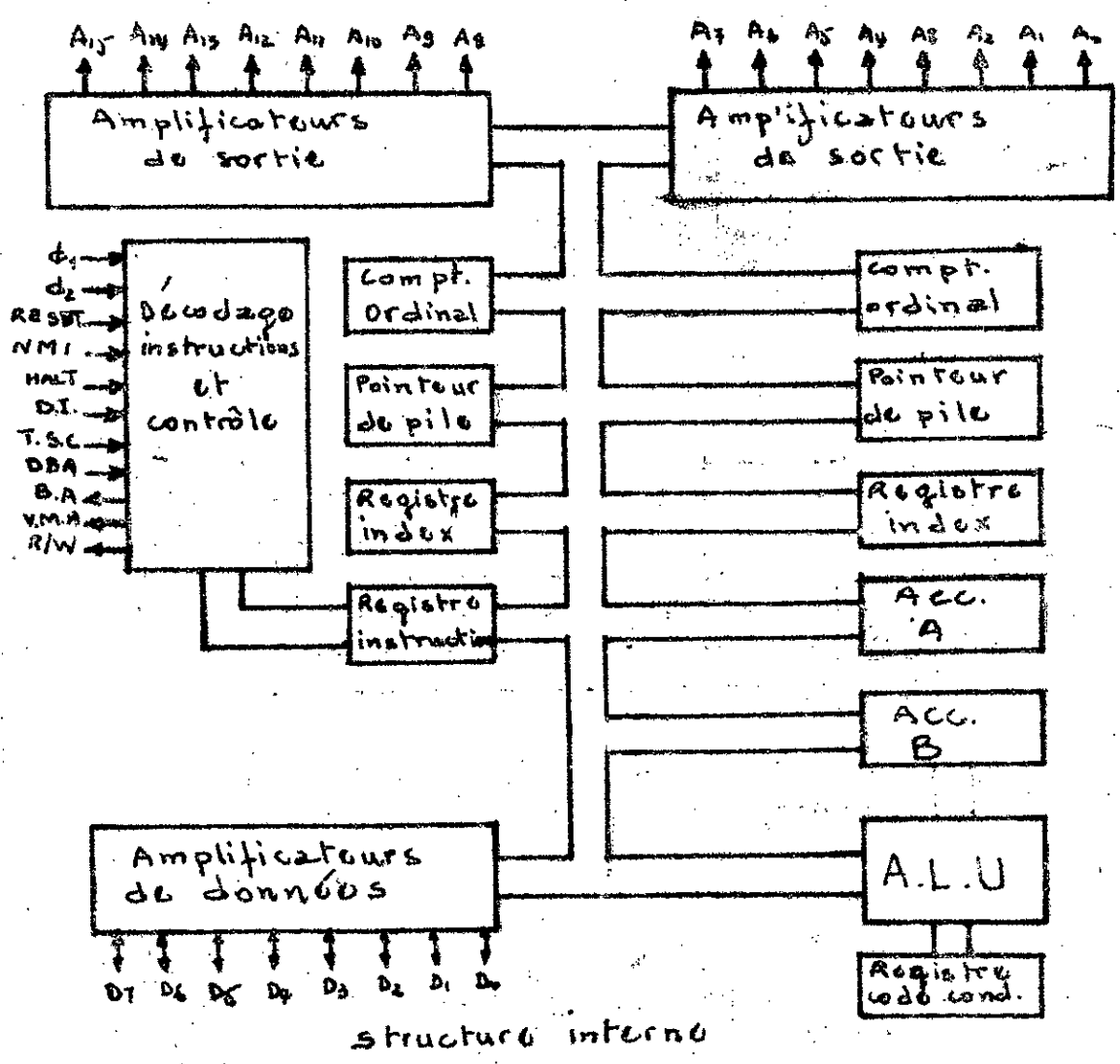
Les instructions portent ici sur la comparaison du contenu du registre d'Index au contenu incrémenté de 1 de 2 cellules mémoires (le registre d'Index est sur 16 bits), incrimmentation et décrimmentation; changement et rangement et enfin échange.

g. Branchements et sauts:

On trouve le branchement inconditionnel (BRA) et tous les branchements conditionnels, les "JUMPS" et les retours; l'interruption logicielle (SWI) et l'attente pour interruption externe (WAI) ainsi que l'instruction NOP qui est introduite dans un programme, lorsque l'ordinateur la rencontrera, il n'exécute rien et passera à l'instruction suivante. cela permet d'introduire éventuellement un retard d'un cycle machine.



Accès au MC.6800 montrant ses 3 bus: Données, adresses, commandes



Annexe 2:

Description du PIA : (Adaptateur d'interface périphérique). 131

L'importance particulière de ce composant dans notre étude nous a poussé à étudier de façon détaillée l'un des modèles, les plus connus et utilisés le MC 6821.

L'unité d'interface MC 6821 est un produit N-MOS logé dans un boîtier 40 broches et utilisé comme un moyen d'interface d'équipement périphérique et de signaux externes avec le MPU, à travers deux bus bidirectionnels de 8 bits chacun programmables et quatre lignes de contrôle.

a - Organisation externe :

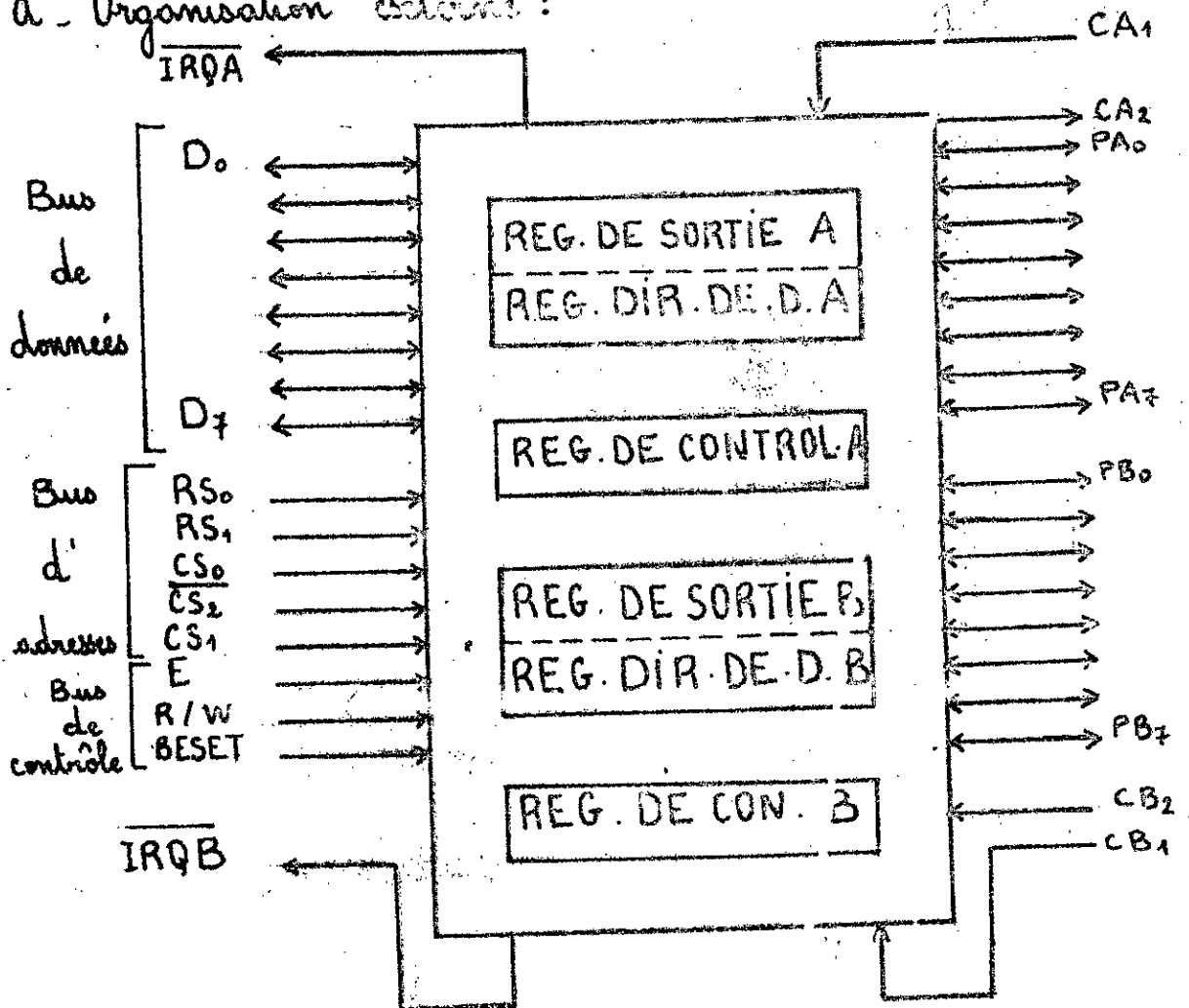


Diagramme synoptique du PIA.

a. 1. Liaison entre le MPU et le PIA :

cette liaison est assurée par :

a. 1. 1. Bus de données :

D_0 à D_7 sont des lignes de données bidirectionnelles, permettant le transfert entre MPU et PIA.

a. 1. 2. Bus d'adresses :

L'adressage du PIA se fait par 5 lignes :

- 3 lignes "Chip Select" CS_0 , CS_1 , CS_2 qui sont connectées à trois lignes du bus d'adresses et qui permettent de sélectionner le PIA.

- 2 lignes "Registre select" RS_0 , RS_1 qui permettent la sélection d'un des 4 registres internes du PIA.

a. 1. 3. Bus de contrôle :

Il comprend 5 lignes :

- "Read / Write" : R/W c'est une broche de lecture / écriture qui permet au MPU de lire le PIA ou au contraire d'y inscrire une information, elle contrôle donc le transfert de données.

- "Reset" (remise à zéro) : Ce signal est utilisé pour effacer tous les registres du PIA.

- "Enable" (E) : permet la synchronisation en lecture ou écriture. Elle contrôle les interruptions provenant de CA_1 , CA_2 , CB_1 , CB_2 .

- "Interrupt request" (\overline{IRQA} et \overline{IRQB}) : ces lignes agissent comme des demandes d'interruption. Elles sont soit câblées sur \overline{IRQ} , soit y aboutir à travers un

circuit de priorité d'interruption dans le cas où plusieurs interruptions arrivent en même temps.

a.2. Liaison entre le PIA et

Le périphérique :

Cette liaison est assurée par (2 x 8 bits bidirectionnels et 4 lignes de contrôle d'interruption.

a.2.1. Lignes PA₀ - PA₇ :

Les lignes sont bidirectionnelles, elle peuvent être programmées en entrée ou en sortie par le registre de direction de données DDRA.

a.2.2. Lignes PB₀ - PB₇ :

Les lignes ont le même fonctionnement que PA₀ - PA₇ sauf que les " Buffers " de sortie sont de technologie trois états " 0 " ; " 1 " ; " OFF "

a.2.3. Lignes de contrôle d'interruption :

Le PIA possède 4 lignes de contrôle d'interruption (CA₁ ; CB₁ ; CA₂ ; CB₂). CA₁ et CB₁ sont seulement des lignes d'entrée sur le PIA. Elles positionnent les flags d'interruption des registres de contrôle. CA₂ et CB₂ sont programmables en entrée et en sortie.

- CA₁ : L'entrée CA₁ indique au MPU qu'une information est présente à l'entrée du PIA.

- CB₁ : Dans le cas où les lignes PB₀ à PB₇ sont programmées en sortie, l'entrée CB₁ indique au MPU qu'un périphérique demande une information.

CA₂ : La ligne CA₂, utilisé comme sortie, est remise

à zéro après que le MPU ait fait la lecture de l'information présente à l'entrée du PIA. Elle fournit donc un signal de reconnaissance.

CB₂ : La ligne CB₂, utilisé comme sortie, est remise à zéro après une opération d'écriture dans le PIA par le MPU. Elle fournit donc un signal d'acquiescement.

3. Organisation interne du PIA :

Le PIA est divisé en 2 configurations symétriques indépendantes, chaque moitié a trois registres de 8 bits chacun.

1 registre de sortie OR (A ou B).

1 registre de contrôle CR (A ou B).

1 registre de directions de données : DDR (A ou B)

Le MPU traite ces registres comme des locations mémoires, en plus ils peuvent être lus ou écrits. Ils sont sélectionnés à l'aide de RS₀, RS₁ et le bit du registre de contrôle (CR₂ (A ou B)).

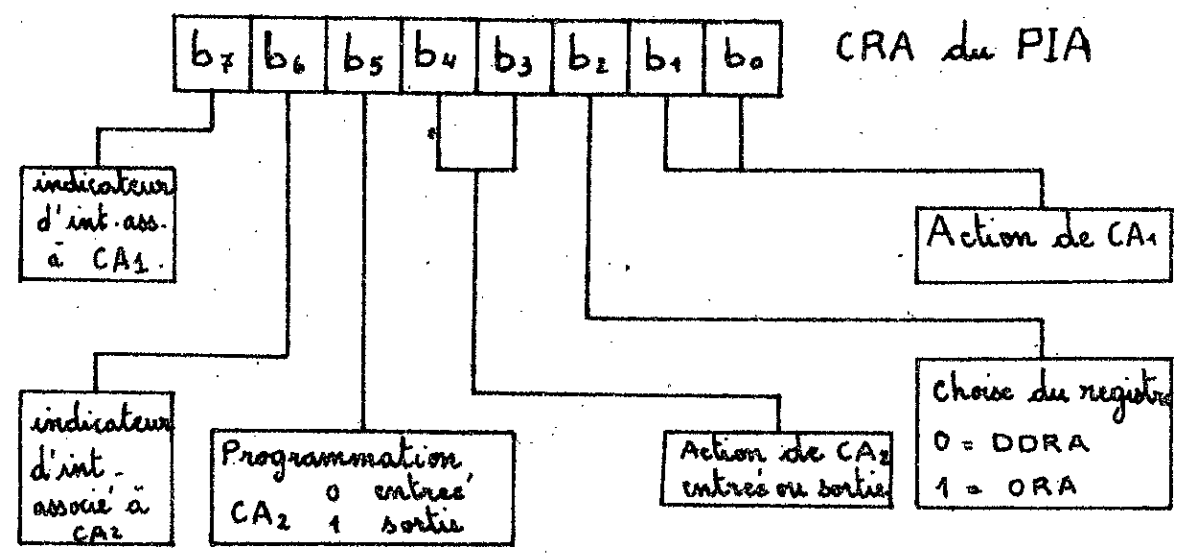
RS ₀	RS ₁	CRA (2)	CRB (2)	Registre sélectionné
0	0	1	X	Registre de sortie ORA
0	0	0	X	Registre de direction de donnée A (DDRA)
0	1	X	1	Registre de sortie ORB
1	0	X	X	Registre de contrôle CRA
0	1	X	X	Registre de direction de donnée B (DDRB)
1	1	X	X	Registre de contrôle CRB.

Addressage Interne du PIA.

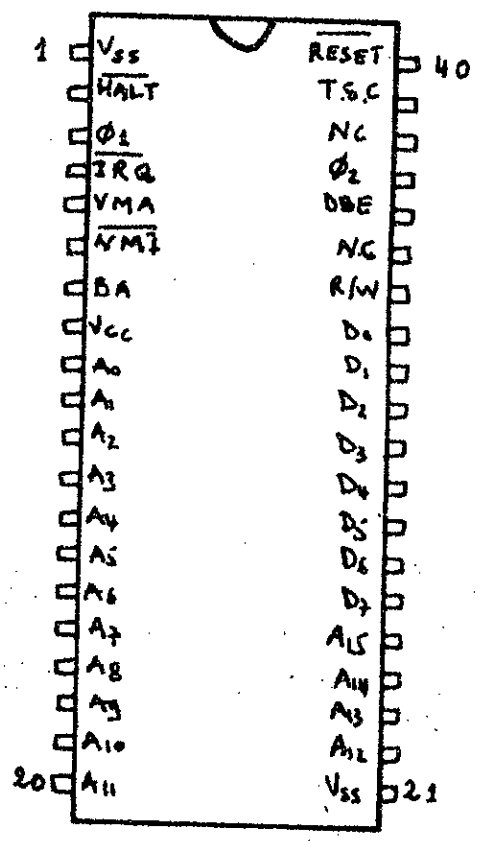
b. 1. Registre de direction de données (DDR (A ou B)) :
 Il est utilisé pour établir le sens de chaque ligne périphérique (PA, PB) comme entrée ou sortie. Ceci est obtenu en écrivant des "1" pour les sorties et des "0" pour les entrées.

b. 2. Registre de sortie (ORA, ORB) :
 Quand il est adressé, le registre range les données présentes au bus de données du MPU pendant une opération d'écriture de ce dernier.

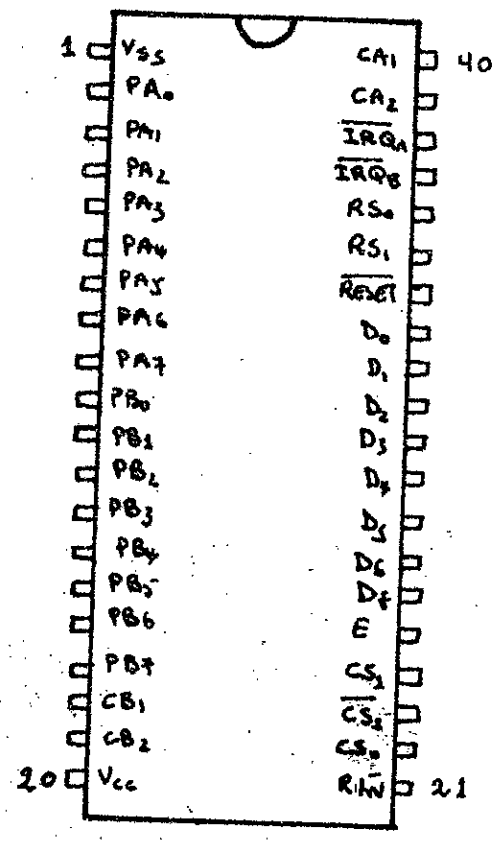
b. 3. Registre de contrôle (CRA, CRB) :
 Les registres permettent de contrôler les lignes d'interruption CA₁, CB₁, CA₂, CB₂. Les bits b₀ et b₅ de ce registre peuvent être écrits ou lus par le MPU; par contre les bits b₆ et b₇ ne peuvent être que lus et sont modifiés par des interruptions externes qui arrivent sur les lignes de contrôle CA₁, CB₁, CA₂, CB₂.
 La configuration de ce registre est la suivante :



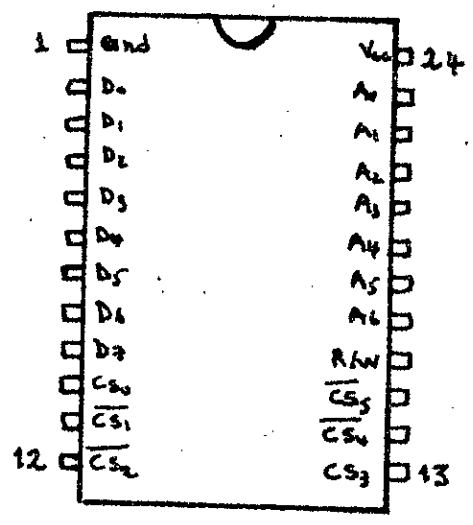
Annexe 3: |3|



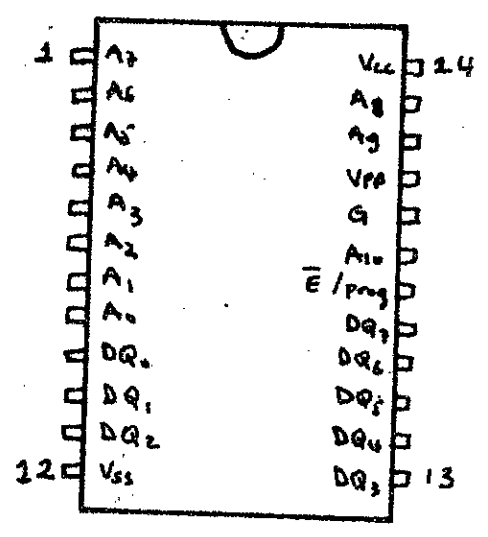
Brochage du MC 6800



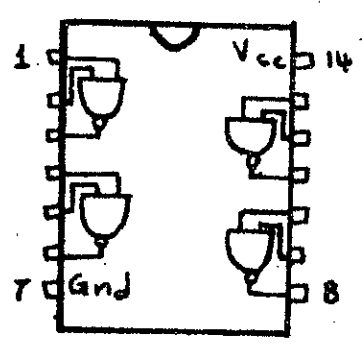
Brochage du MC 6821



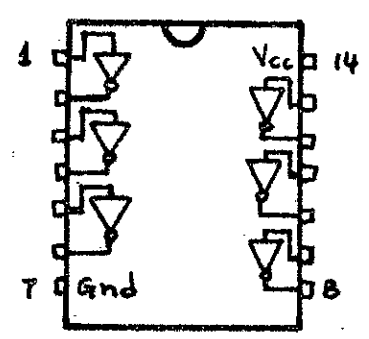
Brochage du MC 6810



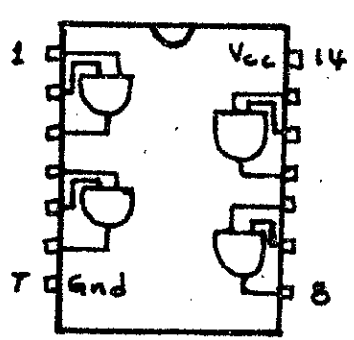
Brochage du MCM 2716



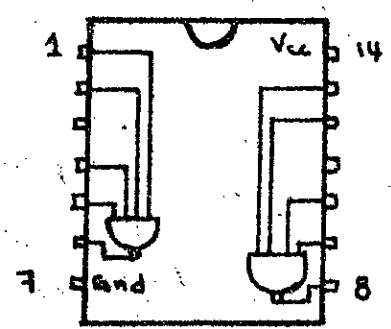
Brochage du N7400N



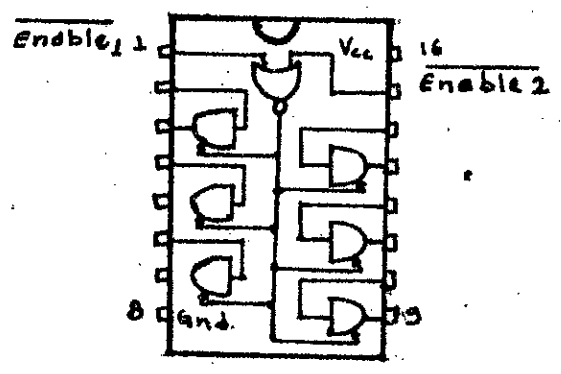
Brochage du N7404N



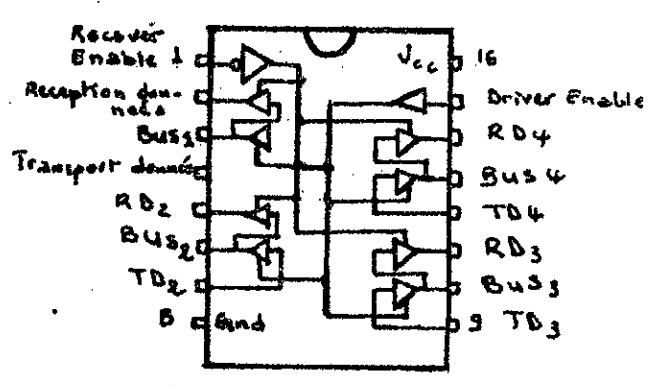
Brochage du N7408N



Brochage du 5N7420N



Brochage du 8T95



Brochage du 8T26

NOMENCLATURE

Nb.	Désignation	observation
1	MC 6800	Microprocesseur. Motorola
2	MC 6821	P.I.A
3	MC 6810A	R.A.M
1	MC 2716	EPROM monotonkion
1	MC 1408	convertisseur N/A 8 bits
4	8T85	Interfaçe du bus d'adresse
2	8T28	Interfaçe du bus de données
1	MC 6871A	Horloge 1MHz.
5	7404	Porte not
5	SN 7400	Porte NAND
9	SN 7408	Porte AND
1	MC 7812	Régulateur de tension
1	MC 7912	Régulateur de tension
1	MDA942	Pont redresseur
1	SN 7420	NAND à 4 entrée une sortie.
1	clavier	14 touches
1	Afficheur	4 Digits - 7 segments LED.

Table des figures :

Figure	N°	page	Figure	N°	page
Système de régulation	1.1	3	org. de la simulation de la courbe de température	4.6.3	40
Spectre global	1.3	5	Décodage des mémoires	5	63
variation de la temp. d'échantillon	1.2	7	Schema électrique de l'alimentation stabilisée	6.1	65
Synoptique du μ -système	2.1	10	Boîtier vue de face	6.6.1	69
Chronogrammes	2.2	14	Boîtier vue de dessus	6.6.2	69
Schema d'affichage	3.1.01	22	Régulateur PI	7.1	72
Structure d'un afficheur	3.1.02	22	Régulateur PI amélioré	7.2	72
organigramme d'affichage.	3.1.03	22			
Synoptique du MC 1408	3.2.1	26			
Montage de conversion	3.2.2	29			
Interface entre le μ -système et le système de régulation	3.2.4	31			
org. Conversion Binaire-BCD	4.6.1	36			
org. de la multiplication	4.6.2	38			

Table des Tableaux

Table	N°	page	Table	N°	page
Table de reconnaissance des touches enfoncées	1	24	Adresse de la TAB ₁ et TAB ₂	4.2	55
			Adresse des sous-programmes	4.3	55
			Valeurs d'interruptions	4.4	55
Table d'équivalence décimale 7 segments.	2	24	Table des adresses du plan mémoires	5.1	59
Contenu de la RAM ₁	3	54	Organisation mémoire	5.2	59
adressage des PIA	4.1	55			

- Bibliographie -

- 11) — Les systèmes à Microprocesseurs M. Aumiaux
Edition Masson.
- 12) — Microprocesseurs du 6800 au 6809 G. Revelin
Mode d'Interfaçage.
- 13) — Microprocesseurs et Mémoires Thomson. EFCIS
Catalogue 1980.
- 14) — N.A et A.N. Convertisseurs R. Fontenay.
- 15) — Etude et Réalisation d'un Programmeur ... Projet de Fin
de Température à l'aide du Micro- d'études G. Nadia
Ordinateur APPLE II PLUS.
- 16) — Etude et Réalisation d'un Régulateur Projet de Fin
de température. d'études H et Z.

